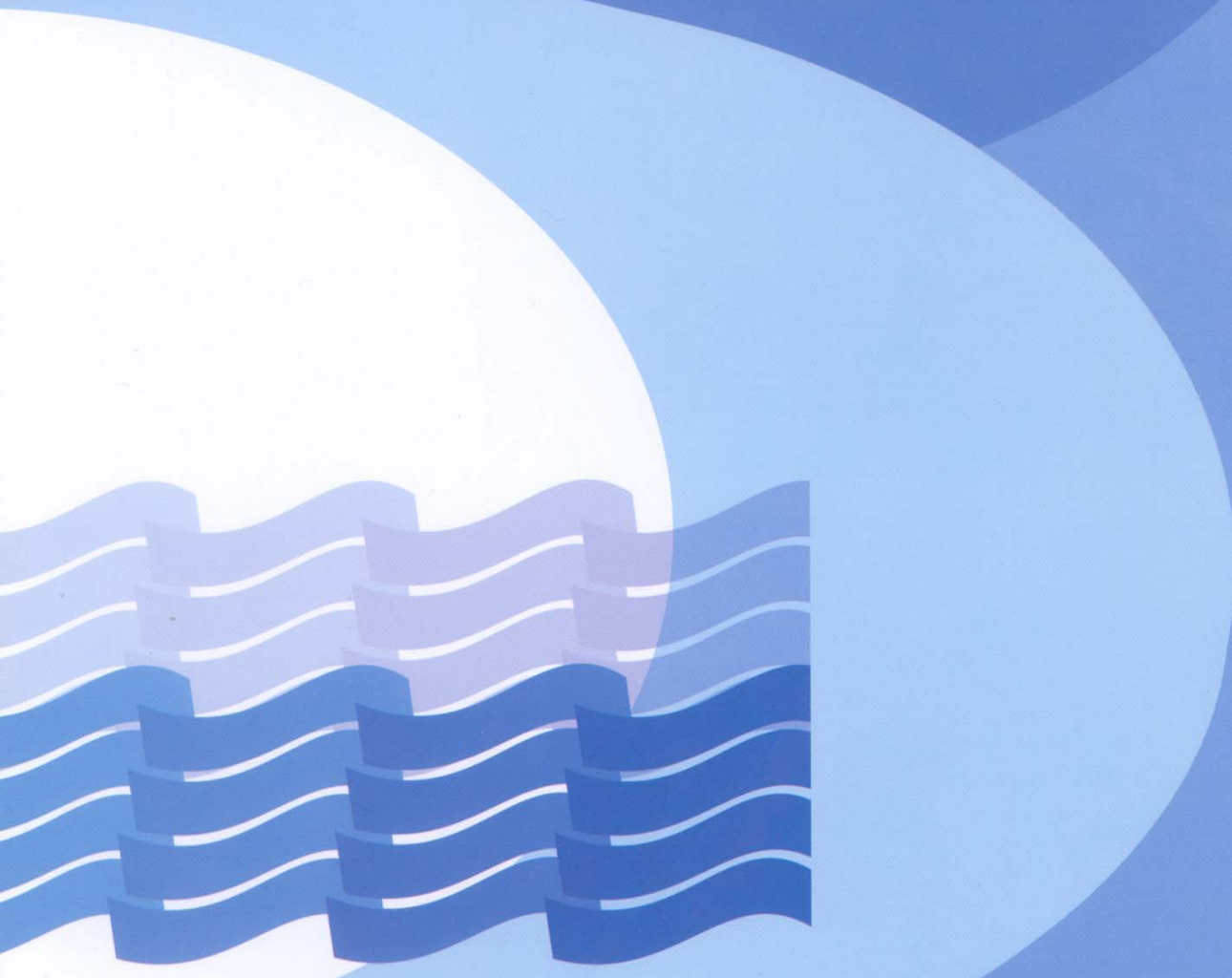




# ژئوفیزیک و نقش آن در مهندسی آب

## "شنایخت روش قطبش القائی (IP)"



ژئوفیزیک و نقش آن در مهندسی آب  
شناخت روش قطبش القایی (IP)

## پیشگفتار

امروزه نقش و اهمیت ضوابط، معیارها و استانداردها و آثار اقتصادی ناشی از به کارگیری مناسب و مستمر آنها در پیشرفت جوامع، تهیه و کاربرد آنها را ضروری و اجتناب ناپذیر ساخته است. نظر به وسعت دامنه علوم و فنون در جهان امروز، تهیه ضوابط، معیارها و استانداردها در هر زمینه به مجتمع فنی - تخصصی واگذار شده است.

با در نظر گرفتن مراتب فوق و با توجه به شرایط اقلیمی و محدودیت منابع آب در ایران تهیه استاندارد در بخش آب از اهمیت ویژه‌ای برخوردار بوده و از این رو طرح تهیه استانداردهای مهندسی آب کشور وزارت نیرو در جهت نیل به این هدف با مشخص نمودن رسته‌های اصلی مهندسی آب اقدام به تشکیل مجتمع علمی - تخصصی با عنوان کمیته‌ها و زیرکمیته‌های فنی نموده که وظیفه تهیه این استانداردها را به عهده دارند.

استانداردهای مهندسی آب با درنظر داشتن موارد زیر تهیه و تدوین می‌گردد :

- استفاده از تخصصها و تجارب کارشناسان و صاحبنظران شاغل در بخش عمومی و خصوصی
- استفاده از منابع و مأخذ معتبر و استانداردهای بین‌المللی
- بهره‌گیری از تجارب دستگاههای اجرایی، سازمانها، نهادها، واحدهای صنعتی، واحدهای مطالعه، طراحی و ساخت
- ایجاد هماهنگی در مراحل تهیه، اجرا، بهره‌برداری و ارزشیابی طرحها
- پرهیز از دوباره کاریها و اتلاف منابع مالی و غیر مالی کشور
- توجه به اصول و موازین مورد عمل مؤسسه استاندارد و تحقیقات صنعتی ایران و سایر مؤسسات معتبر تهیه‌کننده

استاندارد

آگاهی از نظرات کارشناسان و صاحبنظرانی که فعالیت آنها با این رشتہ از مهندسی آب مرتبط می‌باشد موجب امتنان کمیته خواهد بود.

## ترکیب اعضاي کميته

اين نشريه با مشاركت اعضاي کميته فني شماره ۱۳-۲ (ژئوفيزيك) طرح تهييه استانداردهاي مهندسي آب کشور تهييه و تنظيم شده که اسماء آنها به ترتيب الفبا به شرح زير است:

آقای علی اکبر اسلامی	فوق لisans ژئوفيزيك
آقای حسن حاجب حسينيه	دكتراي فيزيك
خانم وحیده زرگر صالح	فوق لisans ژئوفيزيك
آقای فرهنگ شيروانی	ليسانس زمين شناسی - کارشناس ژئوفيزيك
آقای علی نصيريابان	ليسانس زمين شناسی - کارشناس ژئوفيزيك و هيدروژئولوگ
آقای غلامحسين نوروزي	دكتراي ژئوفيزيك

## فهرست مطالب

<u>عنوان</u>	<u>صفحه</u>
-۱ مقدمه	۱
۱-۱ کلیات	۱
-۲ منشاء اثرهای قطبش القایی	۲
۱-۲ قطبش دانه‌ای (الکترودی)	۳
۲-۲ قطبش غشایی (الکتروولیتی)	۵
۳-۲ فرآیندهای قابل مشاهده (ماکروسکوپی)	۷
۴-۲ فرآیندهای یونی	۷
-۳ اندازه‌گیری قطبش القایی	۸
۱-۳ اندازه‌گیریهای زمان حوزه‌ای	۸
۲-۳ اندازه‌گیریهای حوزه فرکانس	۱۱
۳-۳ طیف IP و مقاومت ویژه مختلط	۱۳
۴-۳ کاهش نوفه و جفت‌شدگی الکترومغناطیسی	۱۹
-۴ برداشت‌های صحرایی	۲۰
۱-۴ آرایه دو قطبی - دو قطبی	۲۱
۲-۴ آرایه چهار قطبی متقارن (آرایه شلومبرژه)	۲۳
۳-۴ آرایه سه قطبی (قطبی - دو قطبی)	۲۴
۴-۴ آرایه مستطیل	۲۶
-۵ شکلهای نمایش داده‌های IP	۲۷
-۶ کاربردها و گزارش‌های موردنی	۳۳
۱-۶ برداشت‌های زمین گرمایی	۳۳
۲-۶ بررسیهای آب زیرزمینی	۳۴
۳-۶ کاربردهای زیست محیطی	۳۶
منابع	۴۰

پدیده قطبش القایی<sup>۱</sup> در سال ۱۹۱۲ توسط کونراد شلومبرژه<sup>۲</sup> معرفی شد و از اواخر دهه ۱۹۴۰، در طول جنگ جهانی دوم، توسط ویلیام کک<sup>۳</sup> و داوید بلیل<sup>۴</sup>، به صورت قسمتی از پروژه نیروی دریایی آمریکا برای آشکارسازی مینهای دریایی تکمیل شد (گرو<sup>۵</sup>، ۱۹۸۲). یکی از مظاہر این پدیده بنام اثر ولتاژ اضافی<sup>۶</sup> در قرن نوزدهم شناخته شده بود.

در سالهای ۱۹۸۰ پیشرفت‌های زیادی در دستگاهها انجام گرفت و تکنیکهای پیشرفته مثل مقاومت ویژه مختلط<sup>۷</sup> و IP طیفی<sup>۸</sup> (پلتون<sup>۹</sup> و سایرین، ۱۹۷۸) پیدا شد. با وجود این هنوز لازم است پژوهش‌های زیادی انجام گیرد تا بتوان داده‌های ژئوفیزیکی را با علل زمین‌شناختی آنها مربوط ساخت. بهمین لحاظ تفسیرهای کمی هنوز با مشکلاتی روبرو می‌باشند.

مهمنترین کاربرد امروزی اکتشافات IP در پی‌جوبی کانسارهای فلزی گله به گله (افشان<sup>۱۰</sup>) و در درجه دوم در پی‌جوبی‌های آب زیرزمینی و زمین گرمایی است. از اوایل سالهای ۱۹۹۰ علاقه زیادی در جهت امکان استفاده از روش‌های IP در کاربردهای زیست محیطی پیدا شده است، هرچند که این کار هنوز در مرحله پژوهشی قرار دارد. اندازه‌گیریهای قطبش القایی با استفاده از آرایشهای الکترودی متعارف در روش مقاومت ویژه الکتریکی صورت می‌گیرد که شامل دو الکترود جریان و دو الکترود پتانسیل غیرقابل قطبش است. وقتی جریان اعمال شده قطع گردد، مدت زمان محدودی (چند ثانیه تا چند دقیقه) طول می‌کشد تا ولتاژ بین الکترودهای پتانسیل به تدریج نقصان یافته (تخلیه شده) و به صفر برسد (شکل ۱).

این بدان خاطر است که زمین موقتاً بارها را انبار می‌کند (به عبارت دیگر قطبی می‌شود) و تا حدودی شبیه یک خازن عمل می‌کند. وقتی جریان دوباره وصل شود، ولتاژ در یک آن به مقدار بیشینه خود نمی‌رسد بلکه طی همان زمان (زمان ازدیاد) که قبل<sup>۱۱</sup> به ماکزیمم رسیده بود بتدربیغ زیاد می‌شود. زمان نقصان تدریجی ولتاژ و زمان ازدیاد ولتاژ به عوامل دستگاهی و زمین‌شناختی ارتباط دارند و لذا مشخص‌کننده طبیعت زمین خواهند بود که بعداً مورد بحث قرار خواهد گرفت.

1- induced polarization

2- Conrad Schlumberger

3- William Keck

4- David Bliel

5- Grow

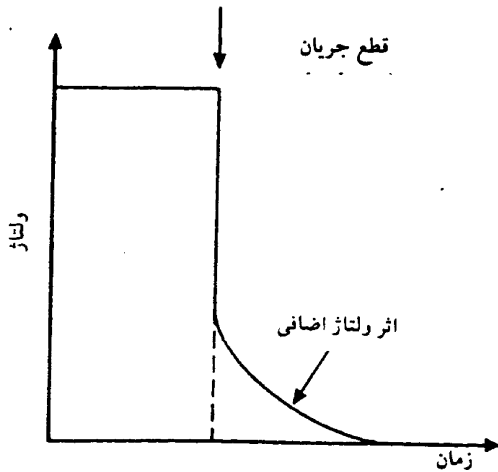
6- Overvoltage

7- Complex

8- spectral

9- Pelton

10- disseminated



شکل ۱- اثر ولتاژ اضافی که در قطبش القایی پس از قطع جریان تولید می شود.

چهار سیستم اندازه‌گیری قطبش القایی وجود دارد. تکنیکهای حوزه زمان<sup>۱</sup> (پالس گذرا) ولتاژ اضافی را بر حسب زمان اندازه می‌گیرند. روش‌های حوزه فرکانس، مقاومت ویژه ظاهری در دو یا چند فرکانس مختلف را اندازه‌گیری می‌کنند (فرکانسها معمولاً پایین‌تر از  $10 \text{ HZ}$  می‌باشند، پاتلاو‌شیاون<sup>۲</sup>، ۱۹۷۷). در تکنیک حوزه فاز، تأخیر فاز بین جریان اعمال شده و ولتاژ اندازه‌گیری شده مشخص‌کننده ماهیت کانی‌سازی زیرزمینی است. در IP طیفی، هم فاز و هم بزرگی دامنه در گسترهای از فرکانسها بین  $3 \times 10^{-3} \text{ HZ}$  و  $10^{-3} \text{ HZ}$  اندازه‌گیری می‌شود.

روش قطبش القایی روشی فعال<sup>۳</sup> است زیرا در بررسیهای حوزه زمان ولتاژهایی به بزرگی چندین هزار ولت به زمین داده می‌شود تا بتوان ولتاژهای اضافی قابل اندازه‌گیری تولید کرد. دستگاه مورد استفاده شبیه دستگاه مقاومت ویژه ولی پیچیده‌تر از آن است. روش قطبش القایی زمین را تحریک و سبب ایجاد پاسخی در آن می‌شود که با توزیع و ماهیت دانه‌های کانی موجود ارتباط دارد. این عمل به ویژه بیشترین اثر را وقتی خواهد داشت که دانه‌های کانی بجای آنکه به صورت متراکم با هم جمع شده باشند، به صورت گله به گله باشند. این موضوع در بخش آینده شرح داده خواهد شد.

## -۲ منشاء اثرهای قطبش القایی

علل پدیده‌های قطبش القایی هنوز به طور دقیق روشن نشده است، ولی دو سازوکار عمدۀ که به نحو قابل قبولی

1- time domain

2- pulse transient

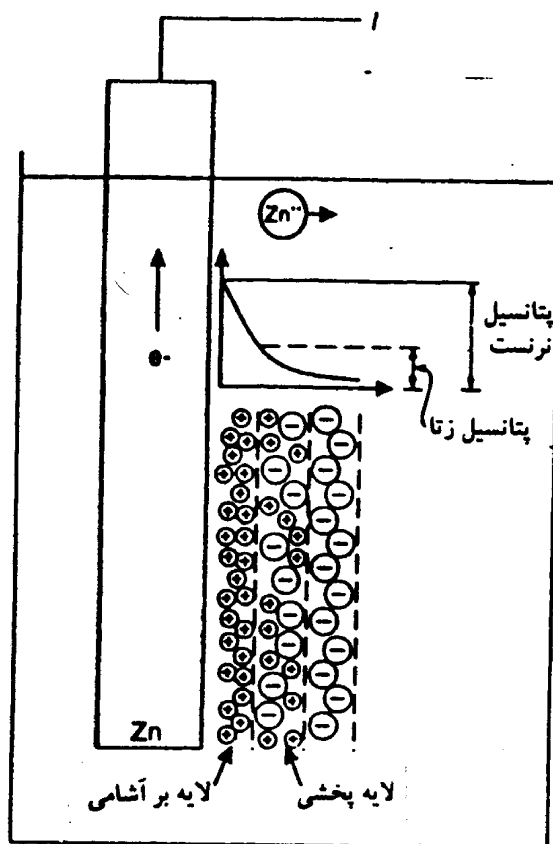
3- Patella and Schiavone

4- active

شناخته شده‌اند عبارتند از: قطبش دانه‌ای (الکتروودی) یا ولتاژ اضافی، و قطبش غشایی<sup>۱</sup> (الکتروولیتی) که هر دو از راه فرآیندهای الکتروشیمیایی روی می‌دهند.

## ۱-۲ قطبش دانه‌ای (الکتروودی)

قطبشن دانه‌ای یا الکتروودی توسط همان فرآیندی روی می‌دهد که در روش خودپتانسیل وجود دارد (نگا. نشریه ژئوفیزیک و نقش آن در مهندسی آب، شناخت روش خودپتانسیل (SP)). اگر یک الکترود فلزی در محلول یونی قرار گرفته و هیچگونه ولتاژی به آن داده نشود، بارهای با قطبیدگی متفاوت از هم جدا می‌شوند و در نتیجه بین الکترود و محلول اختلاف پتانسیلی به وجود خواهد آمد (شکل ۲).

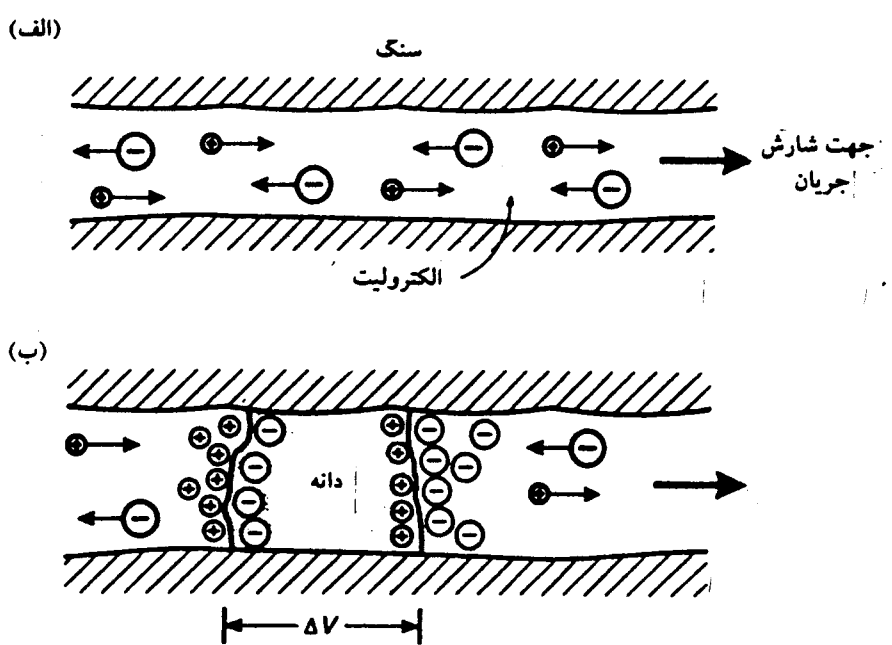


شکل ۲ - پدیده قطبش الکتروودی همراه با فرآیندهای فیزیکی که مسبب پیداشدن پتانسیلهای نرنست و زتا می‌شود (از بک، ۱۹۸۱)

1- membrance

بزرگی کل این پتانسیل بنام پتانسیل نرنست<sup>۱</sup> معروف است و یک لایه برآشامی<sup>۲</sup> (جذب سطحی) پتانسیل دیگری بنام پتانسیل زتا<sup>۳</sup> به وجود می‌آورد. وقتی یک پتانسیل به زمین داده شود، توازن یونی بهم خورده و جریانی به وجود می‌آورد که اختلاف پتانسیل بین الکترود و محلول را تغییر می‌دهد. وقتی که ولتاژ اعمال شده برداشته شود توازن یونی با برگشت یونها دوباره برقرار می‌شود.

در یک وضعیت زمین‌شناختی، این جریان توسط حرکت یونها در آب زیرزمینی موجود در توده سنگ‌ها صورت می‌گیرد. این حرکت از داخل خلل و فرجهای متصل به هم یا از داخل شکستگیها و خرد ترکهای داخل سنگ انجام می‌شود. وقتی یک دانه رسانا (مثل یک سولفید فلزی) کانال جریان را مسدود کند، همانند یک پیل الکتروشیمیابی بارها انباسته می‌شوند (شکل ۳). این وضع با جریان مخالفت کرده و دانه فلزی قطبیده شده و اختلاف پتانسیلی در طول آن به وجود می‌آید. با قطع ولتاژ اعمال شده، یونها به عقب برگشته و اختلاف پتانسیل طرفین دانه در زمانی معین به صفر بر می‌گردد و بدین ترتیب سرعتی‌های نقصان تدریجی ولتاژ اضافی که در سیستمهای حوزه زمان اندازه‌گیری می‌شود، به دست می‌آیند.



شکل ۳- قطبش دانه‌ای (الکترودی)

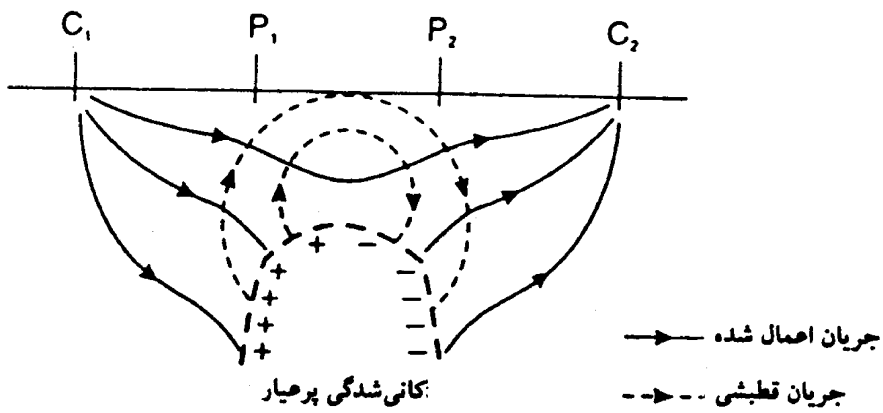
(الف) جریان آزاد الکتروولیتی در یک مجرای باز (ب) قطبش یک دانه رسانای الکترونیکی که مجرا را بسته است.

1- Nernst

2- adsorbed layer

3- Zeta

قطبیش دانه‌ای اساساً پدیده‌ای مربوط به سطح دانه‌ها است و بهمین دلیل کانه‌های گله به گله (که کل مساحت سطحی آنها زیاد است) پاسخ IP بزرگی به وجود می‌آورند. در مواردی پاسخ IP بر روی هاله‌ای از کانه‌های گله به گله در اطراف یک کانسار توده‌ای دریافت می‌شود. هر چند این تک‌تک دانه‌های کانه‌ای رساناست که قطبیده می‌شوند، ولی کل زونهای دارای عیار قابل توجه می‌توانند یک قطبیش یکپارچه به وجود آورند. این وضع یک جریان قطبیشی قابل ملاحظه در زمین تولید می‌کند که به صورت پاسخ IP اندازه‌گیری می‌شود. در آرایش الکترودی ونر در شکل ۴، جریان اعمال شده، زون کانه‌سازی را قطبیده می‌کند. وقتی جریان اعمال شده قطع شود، جریان قطبیشی گذرايی تولید می‌شود که در سطح اندازه‌گیری می‌گردد. این جریان صحرایی برای آرایه الکترودی دو قطبی - دو قطبی<sup>۱</sup> که معمولتر از آرایش ونر است پیچیده‌تر خواهد بود (نگا). نشريه ژئوفیزیک و نقش آن در مهندسی آب، شناخت مطالعات الکتریک با روش مقاومت ویژه).



شکل ۴- اثر کلی قطبیش دانه‌ای بر روی یک کانسار گله به گله

عوامل مؤثر در برقراری مجدد توازن یونی بسیار پیچیده بوده و ممکن است به شکل و اندازه خلل و فرج، ساخت سنگی، تراوایی، رسانندگی الکترولیتی و غلظت یونی و رسانندگی الکترونی دانه کانه‌ای مربوط باشند. کانه‌های بورنیت، کاسیتیریت، کالکوپیریت، گالن، گرافیت، لیمونیت، مگنتیت، پیریت، پیرولوسیت و پیروتیت پاسخهای IP قوی از خود بروز می‌دهند زیرا دارای رسانندگی الکترونی بالایی هستند. در حالی که سولفیدهایی از نوع اسفالریت، سینابر و استیب نیت به علت رسانندگی الکترونی پایین پاسخهای IP خوبی تولید نمی‌کنند. بهمین علت، این کانه‌ها یا جریان خود - پتانسیل ندارند یا جریان آنها خیلی کوچک خواهد بود.

## ۲-۲ قطبیش غشاوی (الکترولیتی)

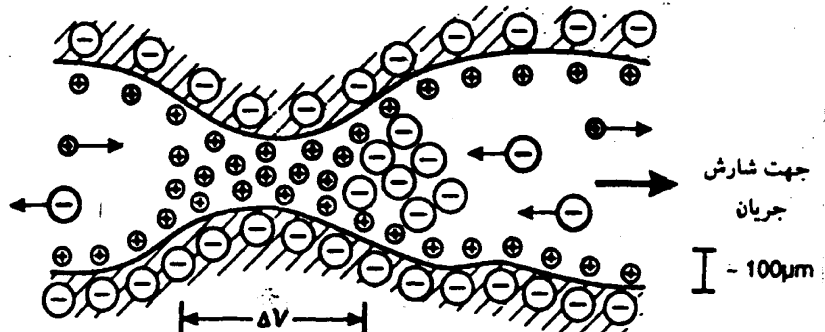
پاسخ IP که بر روی سنگهای فاقد دانه‌های کانی سولفیدی اندازه‌گیری می‌شود ممکن است با اثر ولتاژ اضافی IP که بر

1- dipole - dipole

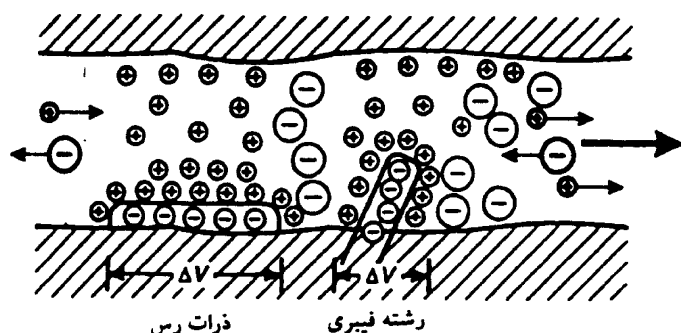
روی سنگهای دارای کانه‌های گله به گله کم عیار به دست می‌آیند قابل تفکیک نباشد، به ویژه اگر روش‌های سنتی زمان حوزه‌ای یا فرکانس حوزه‌ای به کار گرفته شوند. ولی سیستمهای IP جدیدتر حوزه طیفی یا حوزه فاز ممکن است نتایج قابل تشخیص کاملی در اختیار قرار دهند.

دو علت برای قطبش غشایی یا الکتروولیتی وجود دارد. یکی در اثر وجود تنگ شدگی<sup>۱</sup> در داخل مجرای بین خلل و فرج و دیگری در اثر وجود رس در داخل اینگونه مجراهای مثلاً در داخل ماسه سنگهای ناخالص بوجود می‌آید. در سطح مشترک بین کانیهای سنگی و مایعات داخل آنها یک بار منفی وجود دارد. لذا بارهای مثبت در داخل مایع موجود در خلل و فرج به سطح سنگ جذب می‌شوند و یک لایه باردار مثبت با ضخامتی تا حدود  $100\text{ }\mu\text{m}$  را بوجود می‌آورند، در حالی که بارهای منفی از سطح دور می‌شوند. اگر قطر کanal از این ضخامت کمتر باشد، وقتی ولتاژ خارجی اعمال شود، تنگ شدگی مجرای جریان یونها را سد می‌کند. یونهای منفی زون تنگ شده را ترک کرده و یونهای مثبت بر تراکم خود می‌افزایند و بدین ترتیب اختلاف پتانسیلی در طرفین محل سد شده پیدامی شود (شکل ۵-الف). وقتی ولتاژ اعمال شده قطع شود، این تراکم یونی نامتوازن از راه پخش به حالت عادی برگشته و پاسخ IP را تولید می‌کند.

(الف)



(ب)



شکل ۵- تولید قطبش غشایی مربوط به (الف) تنگ شدگی در داخل مجرای بین دانه های کانی و (ب) ذرات رس باردار منفی (فریزر و سایرین، ۱۹۶۴) و اجزاء رشتہ ای در طول کناره های مجرای.

1- constriction

دومین علت قطبش غشایی وجود ذرات رس یا الیاف رشتہ‌ای از کانیهاست که هر دو بار منفی دارند. بارهای مثبت به آنها جذب شده و ابر باردار مثبت در فضای داخل خلل و فرج بوجود می‌آورد. وقتی ولتاژی اعمال شود، بارهای مثبت در داخل این ابر باردار همنام می‌توانند حرکت کنند، ولی جلو یونهای منفی گرفته شده و یک اختلاف تمرکز یونی بوجود می‌آید (شکل ۵-ب). وقتی ولتاژ اعمال شده قطع گردد، وضع غیرمتوازن در تمرکز یونها توسط پخش به سطح معمولی نقصان می‌یابد و پاسخ IP قابل مشاهده تولید می‌شود.

### ۳-۲ فرآیندهای قابل مشاهده (ماکروسکوپی)

تاکنون کوشش‌های زیادی شده است تا روش قطبش القایی به صورت کمی (مثلاً توسط برتن و لوپ<sup>۱</sup>، ۱۹۷۶) و پدیده‌های آن به صورت کیفی (مثلاً توسط شوی و جانسون<sup>۲</sup>، ۱۹۷۳؛ سامنر<sup>۳</sup>، ۱۹۷۶) شرح داده شود. از نقطه نظر تعبیر و تفسیر این ضرورت وجود دارد که هر نوع فرضیه در این مورد می‌بایست قادر باشد که شکل منحنی نقصان تدریجی ولتاژ اضافی با زمان و تغییرات مقاومت ویژه و فاز با فرکانس را توجیه نماید. در واقع منحنی نقصان تدریجی با زمان، بجای آنکه یک نقصان تدریجی نمایی باشد، بطور پیچیده‌ای متناسب با  $t^{-n}$  تغییر می‌کند که در آن طول زمان از لحظه‌ای است که جريان قطع می‌شود. برای توجیه مطلب، چگالی جريان و ضربیت دی‌الکتریک مواد زمین‌شناختی به میان کشیده می‌شود ولی پدیده قطبش القایی را تنها بر حسب ضربیت دی‌الکتریک سنگ نمی‌توان توجیه کرد. مدل‌های دو بعدی برای توجیه واقعیت سه بعدی کفايت نمی‌کنند، هر چند هوهمان<sup>۴</sup> (۱۹۷۵) مدل‌سازی سه بعدی را انجام داده است. بعضی مدل‌ها در شبیه‌سازی مدارهای الکتریکی بصورت سیستمهای مقاومت - خازن موفق بوده‌اند (برتن و لوپ، ۱۹۷۶)، ولی این مدارها فرآیندهای فیزیکی داخل زمین را که منجر به قطبش القایی می‌شوند شرح نمی‌دهند.

### ۴-۲ فرآیندهای یونی

همانگونه که فرضیه‌های ماکروسکوپی قادر به ارائه یک حل کامل نیستند، فرآیندهایی که در سطح میکروسکوپی مورد توجه قرار می‌گیرند نیز بهمین منوال هستند. نیروهایی که بر روی یونها عمل می‌کنند و حرکتهايی که از آنها نتیجه می‌شود از طریق فرضیه پخش<sup>۵</sup> از اواخر قرن گذشته مورد توجه قرار گرفته‌اند. دامنه ولتاژ اضافی در اندازه‌گیریهای حوزه زمان می‌بایست با ریشه دوم فرکانس تغییر کند، ولی تجربه چنین نشان نمی‌دهد. اگر علاوه بر پخش کلی، نیروهای الکتریکی نیز مورد توجه قرار گیرند که میدان الکتریکی و قابلیت تحرک یونها را به حساب می‌آورد، امکان دارد پارامترهای دی‌الکتریکی را که خیلی نزدیکتر به پارامترهای اندازه‌گیری شده‌اند بدست آورد. اثر آشفتگی گرمایی<sup>۶</sup> نیز مورد توجه قرار گرفته و متعاقباً مدل‌سازیهای ریاضی توانسته‌اند ارتباط زمانی کاهش تدریجی ولتاژ

1- Bertin and Loeb

2- Shuey an Johnson

3- Sumner

4- Hohmann

5- diffusion

6- thermal agitation

اضافی را بوجود آورند. البته هنوز توجیه‌های فیزیکی قابل قبول می‌بایست پیدا شوند (شافی<sup>۱</sup>؛ وانگ<sup>۲</sup> ۱۹۵۸، ۱۹۵۹).

### -۳ اندازه‌گیری قطبش القایی

در قطبش القایی جریان توسط دو الکترود جریان به زمین داده شده، و اثر قطبش القایی بین دو الکترود پتانسیل اندازه‌گیری می‌شود. این عملیات معمولاً توسط آرایه‌های متفاوت صورت می‌گیرد (نگا. بند ۴). فاصله‌های الکترودی بطور معمول ده‌ها تا صدها متر انتخاب می‌شود، ولی در بررسیهای شناسایی وسیع، که آرایه شلومبرژ به کار می‌رود، فاصله الکترودی حتی بیشتر نیز خواهد بود. نوع دستگاه مورد استفاده پر حجم‌تر و ماهرانه تراز دستگاه‌هایی است که در بررسیهای مقاومت ویژه به کار می‌روند. نوع این دستگاه‌ها همچنین به نوع بررسی IP نیز ارتباط دارد. جریان ورودی توسط دستگاه فرستنده به زمین انتشار می‌یابد، و اثرات قطبش توسط دستگاه گیرنده دریافت می‌شود. دستگاه گیرنده مجهز به ظروف متخلخل غیرقابل قطبش است که به الکترودهای پتانسیل وصل می‌شوند. خطوط برداشت با فاصله‌های الکتریکی ثابت همانند فواصل ثابت در بررسیهای مقاومت ویژه انجام خواهد گرفت. برای شرح بیشتر در مورد آرایشهای صحراوی به تلفورد و سایرین<sup>۳</sup> ۱۹۹۰ و میلسوم<sup>۴</sup> ۱۹۸۹ مراجعه شود.

### ۱-۳ اندازه‌گیریهای زمان حوزه‌ای

وقتی جریان به زمین داده شده و پس از چند لحظه قطع شود، ابتدا در یک لحظه به مقدار معین  $V$  می‌رسد و سپس به تدریج مقدار آن اضافه شده و به ولتاژ ثابت  $V_P$  می‌رسد. ولتاژ اضافی را  $V_P$  می‌نامند. مدت زمان بین وصل جریان و قطع آن را زمان شارژ (بارگیری) گویند. قطع جریان می‌تواند قبل از شارژ کامل صورت گیرد. در موقع قطع، عکس این موضوع اتفاق می‌افتد. بعبارت دیگر ابتدا یک افت پتانسیل ناگهانی خواهیم داشت و سپس نقصان تدریجی تا رسیدن به صفر ادامه پیدا می‌کند. مدت زمان از قطع جریان تا رسیدن به صفر را زمان دشارژ (تخلیه) می‌نامند. جمع زمان شارژ و دشارژ را دوره اندازه‌گیری می‌نامند (شکل ۶). بزرگی کل ولتاژ مشاهده شده ( $V$ ) برابر است با جمع ولتاژ واقعی ( $V$ ) حاصل از جریان اعمال شده و ولتاژ قطبشی ( $V_P$ ) که توسط فرآیندهای قطبش به وجود آمده است. وقتی جریان اعمال شده قطع گردد، ولتاژ به اندازه  $V$  ناگهان افت پیدا می‌کند، و ولتاژ پسماند (ولتاژ اضافی  $V_P$ ) باقی می‌ماند که با زمان نقصان تدریجی می‌یابد. یکی از مقادیر قابل اندازه‌گیری برای IP نسبت  $V_P/V$  است که بارپذیری<sup>۵</sup> ( $M$ ) نامیده شده و معمولاً بر حسب میلی ولت بر ولت یا بر حسب درصد بیان می‌شود.

1- Schufie

2- Wong

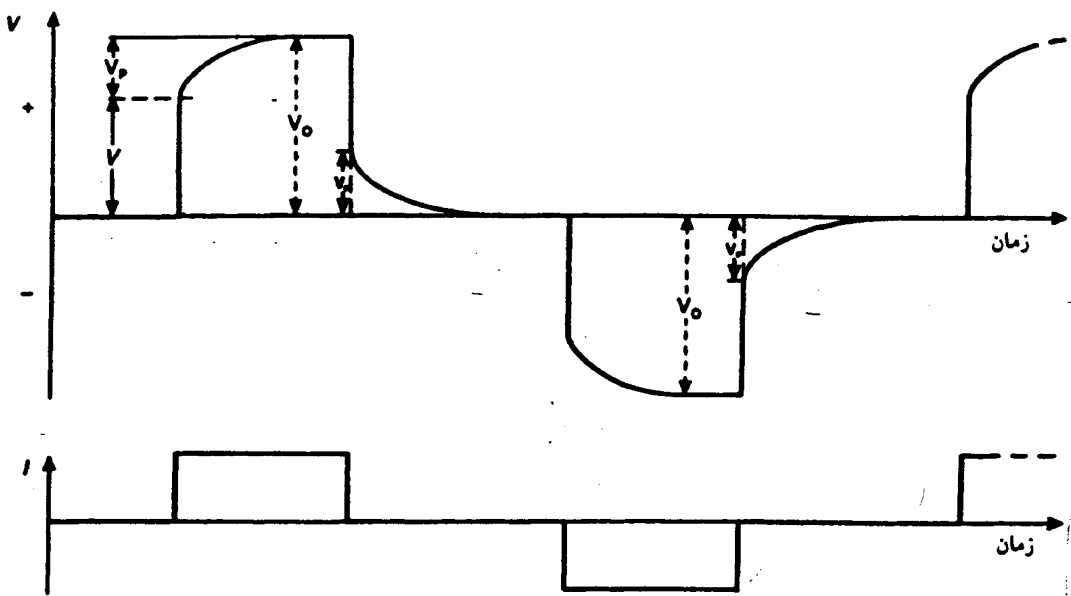
3- Telford et.al.

4- Milsom

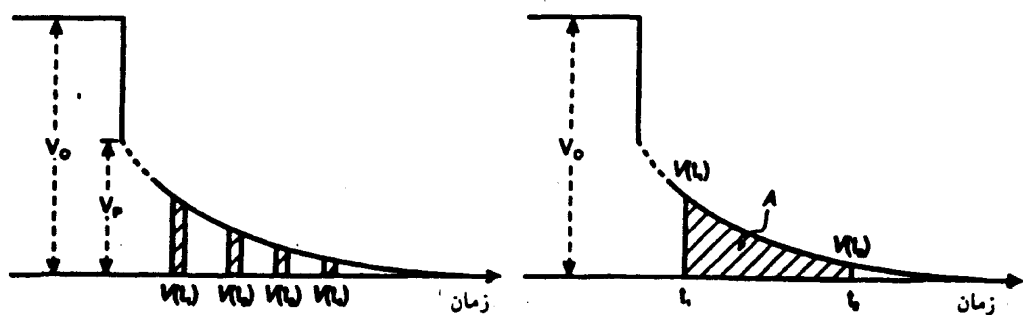
5- chargeability

از نظر دستگاه، اندازه‌گیری  $V_p$  در لحظه‌ای که جریان قطع می‌شود بسیار دشوار است، لذا این عمل در زمان معینی بعد از قطع (معمولًاً  $5/0$  ثانیه) انجام می‌گیرد. سپس از روند نقصان تدریجی  $V_p$  در فاصله‌های زمانی خیلی کوتاه ( $1/0$  ثانیه) پس از زمان فوق ( $5/0$  ثانیه) اندازه‌گیریها بی صورت می‌گیرد. انتگرال‌گیری این مقادیر بر حسب زمان سطح زیر منحنی را می‌دهد (شکل ۶)، که راه دیگری است برای نشان دادن منحنی نقصان تدریجی. وقتی این انتگرال بر  $V_p$  تقسیم شود پارامتر دیگری بنام بارپذیری ظاهری ( $M_a$ ) به دست می‌آید که واحد آن زمان (میلی ثانیه) است.

(الف)

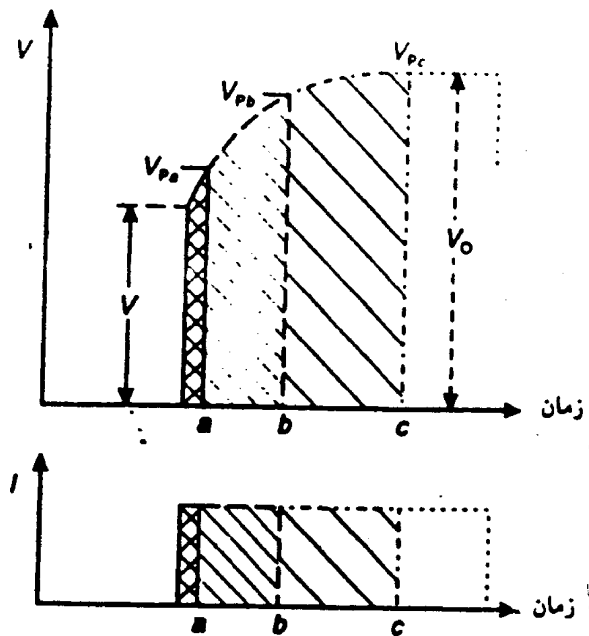


(ب)



شکل ۶ - (الف) کاربرد جریان پالسی با قطبیت متناوب، و ولتاژ منتجه اندازه‌گیری شده ( $V_p$ ) که نشان‌دهنده اثر ولتاژ اضافی و تغییرات آن با زمان است. (ب) دو نوع اندازه‌گیری ولتاژ اضافی، یکی در فاصله‌های زمانی معین ( $t_1, t_2$ ) وغیره و دیگری توسط سطح زیر منحنی ولتاژ اضافی

در شرایط صحرایی، اندازه‌گیری بارپذیری واقعی تقریباً غیرممکن است، زیرا هر لایه در زیرزمین مقدار مطلق بارپذیری و مقاومت ویژه حقیقی خود را دارد. آنچه اندازه‌گیری می‌شود تابع مختلطی از کلیه مقاومت ویژه‌های حقیقی و کلیه بارپذیریهای مطلق محیط‌هایی است که در گستره دستگاه از آنها نمونه‌برداری شده است. اگر دوره شارژ کوتاه باشد، پاسخ IP آن از زمان شارژ بلند کمتر خواهد بود (شکل ۷).



شکل ۷- زیادکردن زمان شارژ (a تا c)، که باعث کم شدن فرکانس اندازه‌گیری می‌شود، سبب زیادشدن ولتاژ اضافی ( $V_{pc}$  تا  $V_{pa}$ ) می‌شود. در نتیجه مقاومت ویژه ظاهری در موقعی که فرکانس اندازه‌گیری کمتر است (مثلثهای C)، بزرگتر از موقعی است که فرکانس اندازه‌گیری بیشتر باشد (مثلثهای a).

برای یک شارژ معین و دوره‌های انтگرال‌گیری (که در دستگاه‌های مختلف IP متفاوت است) بارپذیری ظاهری اندازه‌گیری شده پارامتر تشخیص دهنده‌ای است که می‌توان آن را بر حسب زمین‌شناسی زیرسطحی بطور کیفی تفسیر کرد. اگر زمان شارژ سه ثانیه، دوره انتگرال‌گیری یک ثانیه و عیار حجمی جسم ۱٪ باشد، مقدار  $M_a$  برای کالکوست ۱۳/۲ میلی‌ثانیه می‌باشد که بیش از دو برابر این مقدار برای برآمدت (۶/۳ میلی‌ثانیه) و کمی بیشتر از مقدار مربوط به گرافیت (۱۱/۲ میلی‌ثانیه) است. بر عکس بارپذیری ظاهری منیتیت فقط ۲/۲ میلی‌ثانیه و هماقتیت صفر است.

از مطالب فوق با توجه به شکل ۶ برای بارپذیری M نتیجه می‌شود:

$$M = \frac{V_p}{V_0} \quad (\text{بر حسب } mv/v \text{ یا } \%)$$

که در آن  $V_p$  ولتاژ اضافی، و  $V$  ولتاژ اندازه‌گیری شده با جریان اعمال شده معین است، و

$$M_a = \frac{1}{V_o} \int_{t_1}^{t_2} V_p(t) dt = \frac{A}{V_o} \quad (\text{بر حسب میلی ثانیه})$$

که در آن  $V_p(t)$  ولتاژ اضافی در زمان  $t$ ، و سایر پارامترها در شکل ۶-ب تعریف شده‌اند.

مزیت اصلی انتگرال‌گیری و هنجارسازی<sup>۱</sup> توسط تقسیم کردن با  $V$  آن است که نویه<sup>۲</sup> حاصل از جفت‌شدگی متقاطع کابلها و پتانسیل زمینه کاهش می‌یابد. در انتخاب فاصله‌های زمانی مناسب باید دقت به عمل آید تا نسبت سیگنال - به - نویه<sup>۳</sup> به حداقل برسد، بدون آنکه از حساسیت تشخیص دهنگی این روش کاسته شود.

## ۲-۳ اندازه‌گیری‌های حوزه فرکانس

در شکل ۸ منحنی‌های شارژ و تخلیه IP برای دو دوره متفاوت نشان داده شده است (الف و ب). شکل ۸-الف، زمانی است که زمین به حالت شارژ کامل رسیده (زمان  $T$ ) و پس از قطع جریان نیز زمین کاملاً تخلیه شده است (زمان  $\theta$ ). شکل ۸-ب، زمانهای شارژ و تخلیه کوتاه‌تر شده ( $T' < \theta'$ ) و علاوه بر آن جهت جریان نیز به طور متناوب عکس شده است. چنانکه روی این دو شکل دیده می‌شود، مقدار پتانسیل در حالت شارژ کامل ( $\Delta V_s$ ) بزرگ‌تر از پتانسیل ( $\Delta V'_s$ ) در حالت زمان شارژ کوتاه‌تر است ( $\Delta V_s > \Delta V'_s$ ). اگر با تقریب اول پذیریم که پدیده شارژ مشابه پدیده تخلیه است، هرچه زمانهای شارژ و تخلیه کوچک‌تر باشد تفاوت  $\Delta V_s$  و  $\Delta V'_s$  ( $\Delta V_s - \Delta V'_s$ ) بیشتر بوده و مقدار آن به مقدار  $\Delta V_{IP}$  در زمان قطع جریان ( $t = 0$ ) نزدیک‌تر می‌شود.

یک طریقه بدست آوردن دوره اندازه‌گیری (جمع زمان شارژ و تخلیه) کوتاه استفاده از جریان متناوب با فرکانس کم می‌باشد که بین الکترودهای پتانسیل (M و N) اختلاف پتانسیل متناوبی ایجاد می‌کند که مقدار آن برابر مدولش یعنی  $\Delta V_{alt}$  می‌باشد. مقدار  $\Delta V_{alt}$  کاملاً قابل تشبیه به پارامتر  $\frac{\Delta V_{IP0}}{\Delta V_s}$  ( $t = 0$ ) است.

اگر شدت جریان پیوسته و مدول جریان متناوب یکسان باشند برای یک آرایش مشخص چنانکه دیده شد، پتانسیل حاصل با جریان متناوب کمتر از پتانسیل حاصل از جریان پیوسته است بنابراین با توجه به رابطه مقاومت ویژه ظاهری  $\rho_a = k \frac{\Delta V}{I}$  مقاومت ویژه ظاهری با جریان پیوسته ( $\rho_{a0}$ ) بزرگ‌تر از مقاومت ویژه با جریان متناوب ( $\rho_{a1}$ ) می‌باشد.

1- normalizing

2- noise

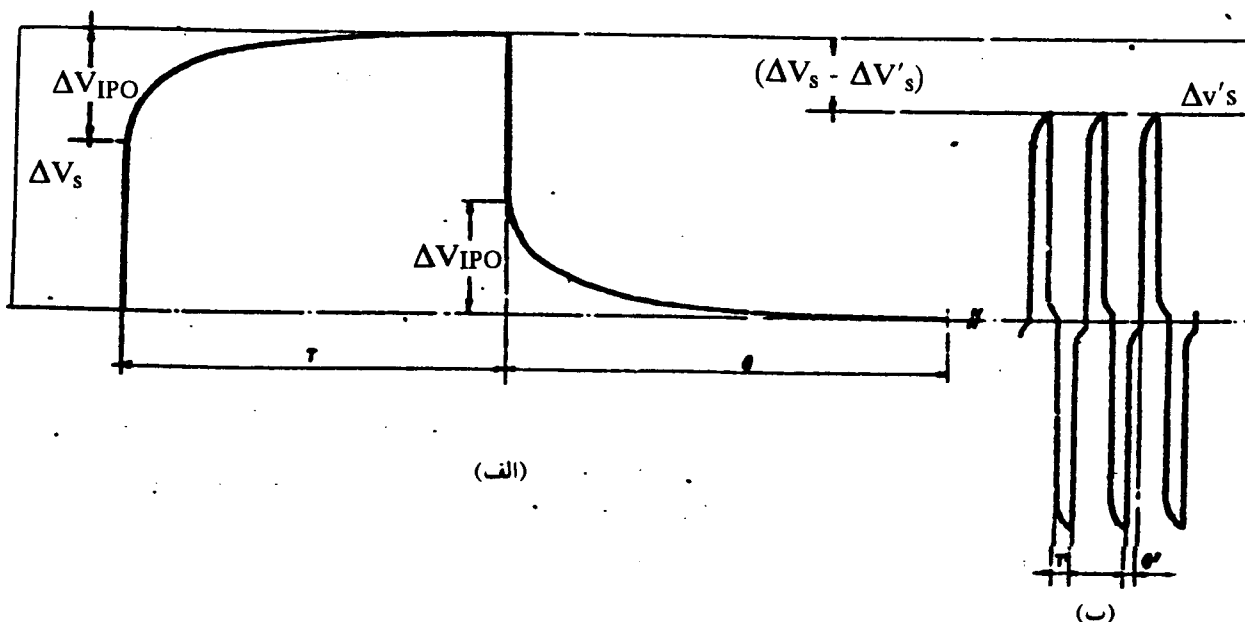
3- signal - to - noise

اگر در رابطه مقادیر  $\Delta V_s$  و  $\Delta V_{alt}$  را با استفاده از رابطه مقاومت ویژه ظاهری جایگزین کنیم  
پارامتری بنام اثر فرکانس (FE) تعریف می‌شود که عبارتست از :

$$FE = \frac{\rho_{a_0} - \rho_{a_1}}{\rho_{a_0}} \quad \text{یا} \quad \frac{\rho_{a_0} - \rho_{a_1}}{\rho_{a_1}} \quad (\text{بدون واحد})$$

$$PFE = 100 \cdot \left( \frac{\rho_{a_0} - \rho_{a_1}}{\rho_{a_1}} \right) = 100 \cdot FE \quad \text{درصد اثر فرکانس (PFE)}$$

در مطالعات قطبش القایی حوزه فرکانس (فرکانس متغیر) به جای جریان پیوسته نیز از یک جریان متناوب با فرکانس کم استفاده می‌شود. بنابراین اساس این مطالعات، اندازه‌گیری مقاومت ویژه در دو فرکانس (مثلاً ۱/۳ و ۵HZ یا ۲/۵ HZ) می‌باشد که در حقیقت فرکانس پائین (۱/۰ یا ۰/۳) جایگزین جریان مستقیم (پیوسته) شده است.



شکل ۸- مقایسه منحنیهای شارژ و تخلیه IP برای دوره‌های اندازه‌گیری متفاوت

مارشال و مادن<sup>۱</sup> (۱۹۵۹) عبارت اثر فرکانس را اصلاح کرده و پارامتر دیگری بنام عامل فلزی<sup>۲</sup> (MF) (یا عامل رسانش فلزی<sup>۳</sup>) را بدست آورده عبارت است از :

$$MF = A (\rho_{a_0} - \rho_{a_1}) / \rho_{a_0} \rho_{a_1} = A (\sigma_{a_1} - \sigma_{a_0}) \quad (\text{واحد: زیمنس بر متر یا موهو بر متر})$$

1- Marshall and Madden

2- metal factor

3- metal conduction factor

برخی از ژئوفیزیکدانها اعتقاد دارند که داده‌های عامل فلزی زونهای سولفیدی گله به گله را بهتر از داده‌های اثر فرکانس تشخیص می‌دهند.

در فرمولهای فوق  $\sigma_{a_0}$  و  $\sigma_{a_1}$  به ترتیب رساننده‌گی ظاهری ( $1/\rho_a$ ) در فرکانسهای پایین و بالا می‌باشند، بطوری که است.  $A = 2\pi \times 1^\circ$  و  $\sigma_{a_0} < \sigma_{a_1}$  و  $\rho_{a_0} > \rho_{a_1}$

از طرف دیگر می‌توان نوشت:

$$MF = A \times FE / \rho_{a_0} = A \times FE \times \sigma_{a_0}$$

که در آن  $FE$  اثر فرکانس است.

با وجود اینکه کانسارهای گله به گله را می‌توان با داده‌های IP تعیین محل کرد، پارامترهای بارپذیری، اثر فرکانس و عامل فلزی نشانه مناسبی از مقدار نسبی کانسازی فلزی در منبع IP در اختیار نمی‌گذارند. لذا لازم است که به سراغ روش‌های ماهرانه‌تری چون طیف IP رفت که حتی تخمینهای چنین روشهایی نیز بدون ابهام نخواهد بود.

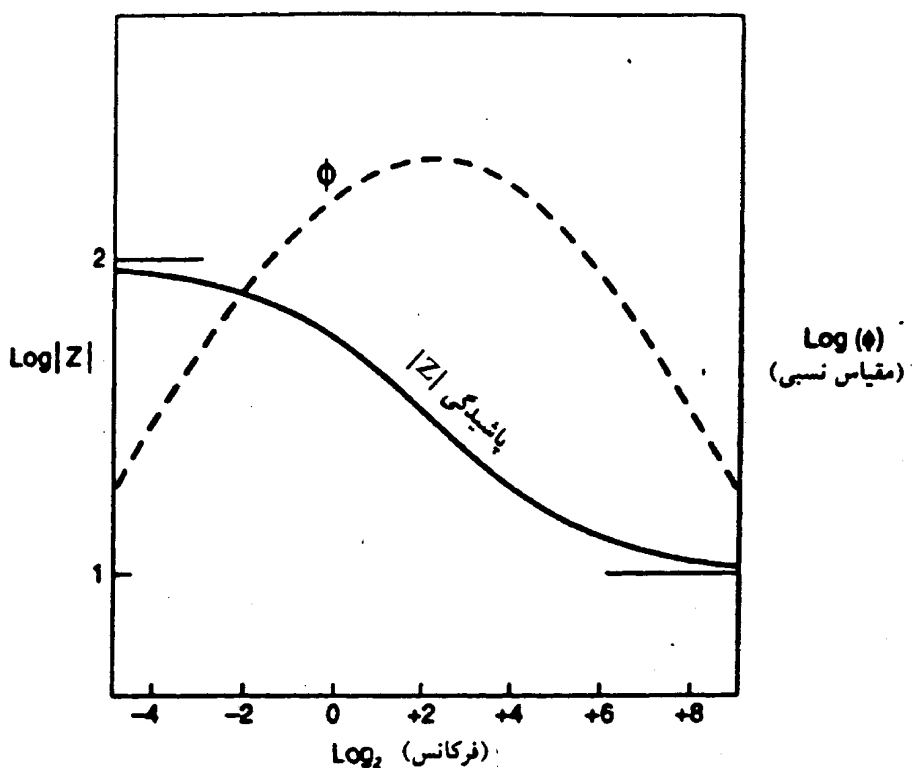
روش دیگری که در حوزه فرکانس به کار گرفته شده و بعدها روش طیف IP جای آن را گرفته است روش فاز IP است که در آن تنها یک فرکانس لازم است. در این روش قطبش القابی از تأخیر فاز  $\phi$  که بین جریان اعمال شده و ولتاژ قطبش اندازه‌گیری شده پیدا می‌شود، مشخص می‌گردد.

### ۳-۳ طیف IP و مقاومت ویژه مختلط

طیف IP نام دیگری برای مقاومت ویژه مختلط است که بنوبه خود با اندازه‌گیری ویژگیهای دیالکتریک مواد رابطه دارد. مروری بر مبانی نظری و تعبیر و تفسیر داده‌های طیف IP یا مقاومت ویژه مختلط توسط پلتون و سایرین<sup>۱</sup> (۱۹۸۳) ارائه شده است.

در این روش همان آرایش صحرایی بررسیهای حوزه زمان و فرکانس متغیر سنتی به کار می‌رود، ولی دستگاه کاملاً پیچیده‌تر است. در این روش لازم است که اندازه‌گیریها تا حد امکان دقیق بوده و هرگونه نوفهای پاک شود.

در این روش قدر مطلق مقاومت ویژه مختلط  $|Z(\omega)|$  و فاز  $\phi$  ولتاژ قطبش در گستره وسیعی از فرکانس (۰/۳ تا ۴ KHZ) جریان اعمال شده اندازه‌گیری می‌شود، و در نتیجه یک نوع پاسخ طیف IP مشخص بدست می‌آید (شکل ۹). رابطه فرکانس معمولاً بصورت یکتابع دوتایی و به شکل لگاریتمی با پایه ۲ بجای پایه ۱۰ رسم می‌شود. رفتار بین حد پایین و حد بالای فرکانس را واهلش<sup>۱</sup> سیستم الکتریکی نامند (شوی و جانسون<sup>۲</sup>، ۱۹۷۳) و اگر چهار پارامتر الکتریکی زیر معلوم باشند، کل پاشیدگی  $Z(\omega)$  قابل تعریف خواهد بود. این چهار پارامتر عبارتند از: مقاومت ویژه DC ( $\rho_o$ )، بارپذیری IP (M)، ثابت زمانی پاسخ IP ( $\tau$ )، که در مطالعات دی الکتریک به زمان واهلش موسوم است)، و نمای فرکانس زاویه‌ای ( $\omega$ ). چهار پارامتر فوق در پاسخ طیف IP بصورت زیر وارد می‌شوند:



شکل ۹ - یک پاسخ طیفی نوعی IP (پلتون و همکاران، ۱۹۸۳)

$$|Z(\omega)| = \rho_o \left[ 1 - M \left( 1 - \frac{1}{1 + (i\omega\tau)^c} \right) \right]$$

که در آن  $\rho_o$  مقاومت ویژه DC،  $M$  بارپذیری IP،  $\omega$  فرکانس زاویه‌ای،  $\tau$  ثابت زمانی و  $i = \sqrt{-1}$  است.

یک شکل از واهلش که بطور متداول مورد استفاده قرار می‌گیرد طیف واهلش کول-کول<sup>۳</sup> می‌باشد (شکل ۱۰) که بنام

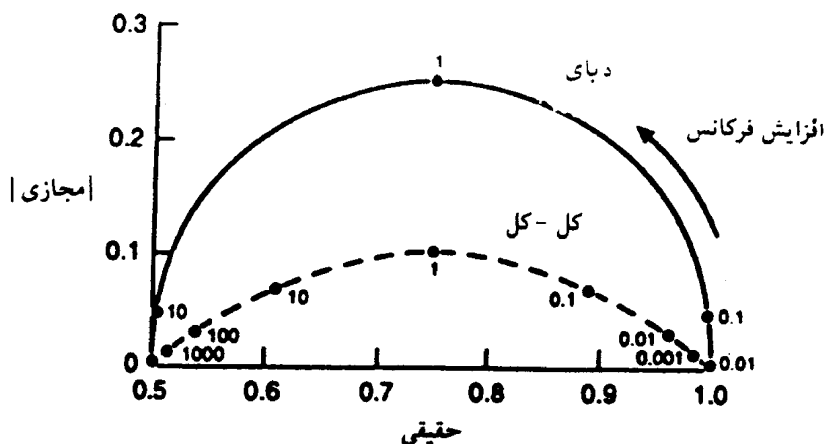
1- relaxation

2- Shuey and Johnson

3- Cole - Cole

بنیانگذاران آن به نام کول و کول (۱۹۴۱) نامیده می‌شود. این واهلش می‌تواند توسط فرکانس بحرانی ( $F_c$ ) که فرکانس ویژه‌ای است که در آن حداکثر انحراف فاز اندازه‌گیری می‌شود مشخص گردد:

$$F_c = [2\pi\tau(1 - M)^{1/2}]^{-1}$$



شکل ۱۰- طیف واهلش کول - کول برای پاشیدگی دیبای و کول - کول با درنظر گرفتن

$$\frac{1}{2\pi} = \tau \cdot M = C \quad (\text{پلتون و همکاران}, ۱۹۸۳)$$

که در آن  $\tau$  ثابت زمانی و  $M$  بارپذیری IP می‌باشد.

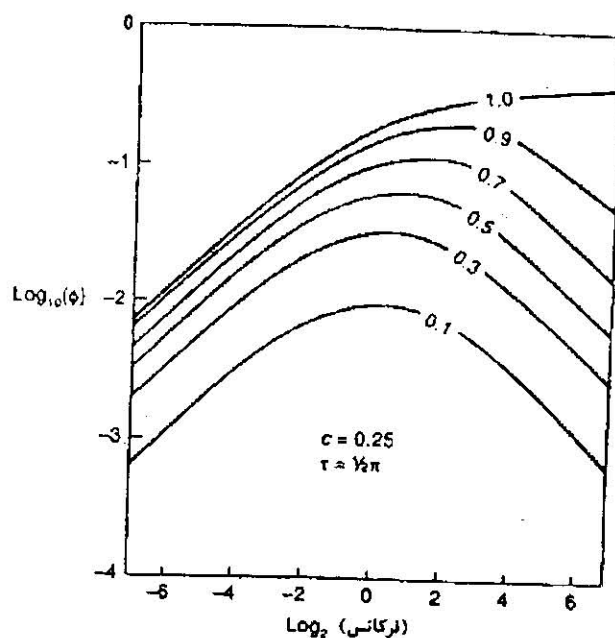
توجه شود که این فرکانس به طور کامل از مقاومت ویژه مستقل می‌باشد. زاویه فاز و فرکانس بحرانی با افزایش بارپذیری افزایش می‌یابد (شکل ۱۱).

برازش دو یا تعداد بیشتری از پراکنش کول - کول به طیفهای صحرایی فرآیندی است که وارونگی SIP نامیده می‌شود (سونگ و وزوف<sup>۱</sup>، ۱۹۸۵) که وسایلی هستند که به وسیله آنها پارامترهای اصلی دیالکتریک بدست می‌آید. بافت کانی‌سازی که توسط اندازه دانه‌ها و توزیع دانه‌بندی ذرات قطبش‌پذیر در داخل هر گروه از دانه‌های کانه مشخص شده اما بستگی کمتر به نوع کانی‌های فلزی موجود دارد، رفتار ثابت زمانی ( $\tau$ ) و نمای فرکانس ( $C$ ) را دیکته می‌کند. در شرایطی که کانی‌سازی قطبش‌پذیر دانه درشت باشد، زمان واهلش ( $T$ ) بزرگ بوده و فرکانس بحرانی ( $F_c$ ) کوچک می‌باشد، (برعکس کانی‌سازی دانه‌ریز). مشابه این امر، کانسار سولفیدماسیو در مقایسه با گرافیت دارای تغییرات زمانی شارژ‌پذیری - واهلش بارز بوده (هالوف و کلین<sup>۲</sup>، ۱۹۸۲) و مگنتیت دارای تغییرات زمانی شارژ‌پذیری - واهلش معین در مقایسه با پیروتیت می‌باشد (پلتون و دیگران<sup>۳</sup>، ۱۹۷۸) (شکل ۱۲).

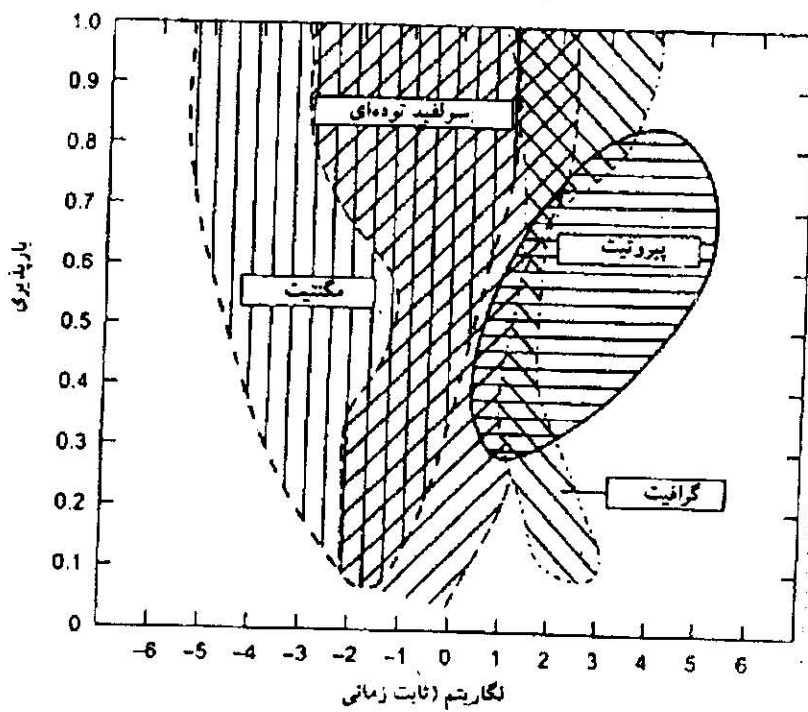
1- Song and Vozoff

2- Hallof and Klein

3- Pelton et al.



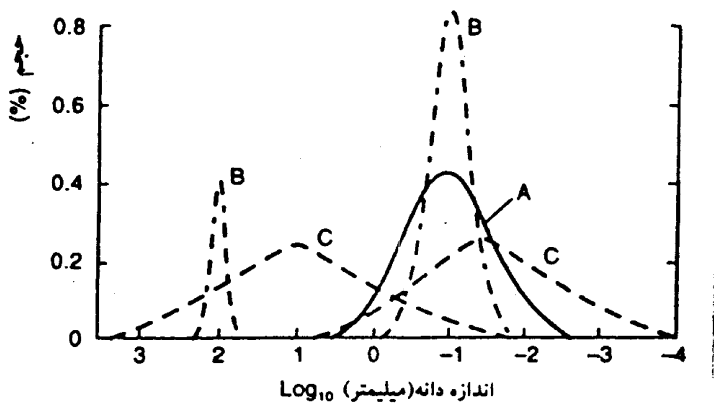
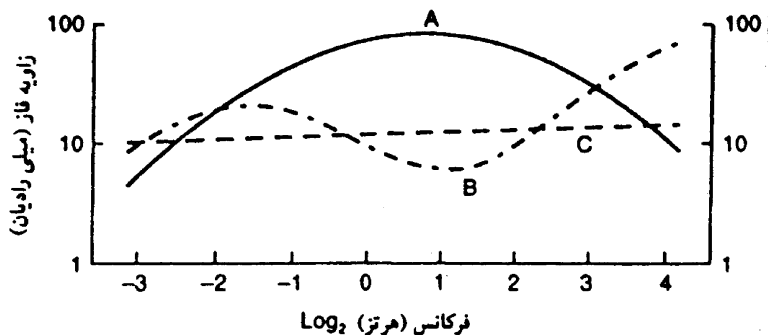
شکل ۱۱- منعنهای زاویه فاز برای یک مدل نوعی کول-کول با بارپذیری متفاوت  
 $(M = 0/1-1/0)$  (پلتون و همکاران، ۱۹۸۳)



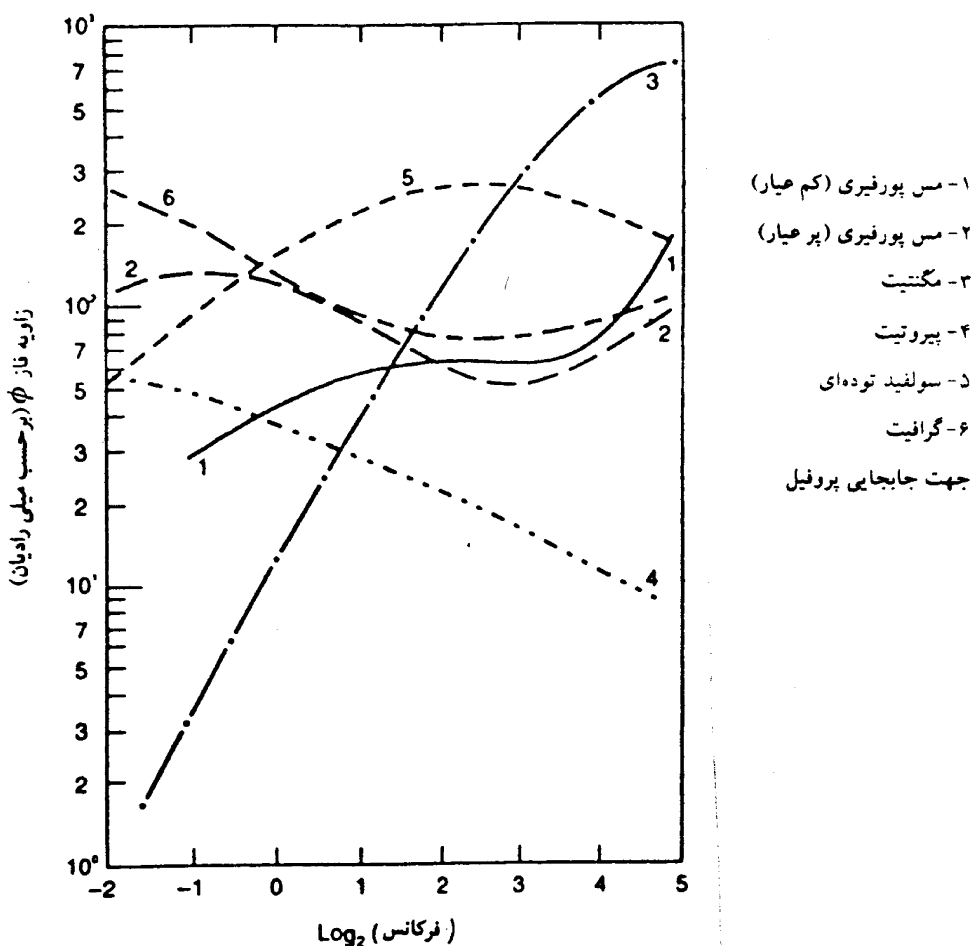
شکل ۱۲- بارپذیری به صورت تابعی از زمان ثابت و اهلش آنکلز هالوف و کلین، ۱۹۹۲ و پلتون و همکاران، ۱۹۷۸

بیشترین رقم ۰ عبارت از  $5\%$  بوده و برای بیشترین سولفیدهای ماسیو ۰ در گستره بین  $25\% - 35\%$  است (هالوف، ۱۹۸۳).

مثالهایی از رفتار فاز برای موارد گوناگون با توزیع اندازه دانه‌بندی مختلف در شکل ۱۳ نشان داده شده است. در جایی که دو توزیع اندازه دانه‌بندی دارای همپوشی باشند و یا گستره وسیعی از اندازه دانه‌ها به طور پیوسته توزیع شده باشد، مقادیر ۰ تا بین  $1\% - 2\%$  افت کرده و منحنی طیفی خیلی تخت خواهد شد. تحلیل کامپیوتری این منحنی‌های طیفی تخت به تغییرات ۰ و ۲ غیرحساس بوده و تخمین توزیع اندازه دانه‌بندی احتمالاً مبهم خواهد شد. طیفهای مربوط به زاویه فاز انواع کانسارها در شکل ۱۴ نشان داده شده است. اگر داده‌های بارپذیری بر حسب ثابت زمانی در یک زمین با کانسارهای مختلف همپوش رسم شوند (مانند مگنتیت و سولفیدهای ماسیو در شکل ۱۲)، در این صورت از طیف زاویه فاز می‌توان برای تفکیک بین دو نوع کانه استفاده نمود (پلتون و دیگران، ۱۹۷۸). از پارامترهای طیفی IP می‌توان برای تعیین بافت کانی‌سازی یک کانسار استفاده نمود و بنابراین می‌توان زونهای کانی‌سازی اولیه را که از رگه‌های کوچک کانه تشکیل شده‌اند از کانه‌های افسان شده جدا نمود. در جایی که زونهای طویلی از سولفید یا تشکیلات اکسید آهن وجود داشته باشد، IP طیفی می‌تواند محل افزایش عیار فلز پایه را با تغییرات در بافت طیفی



شکل ۱۳ - منحنی‌هایی از طیف نظری فاز با سه مدل از توزیع اندازه‌های دانه‌بندی داده‌ها از هالوف (۱۹۸۳)

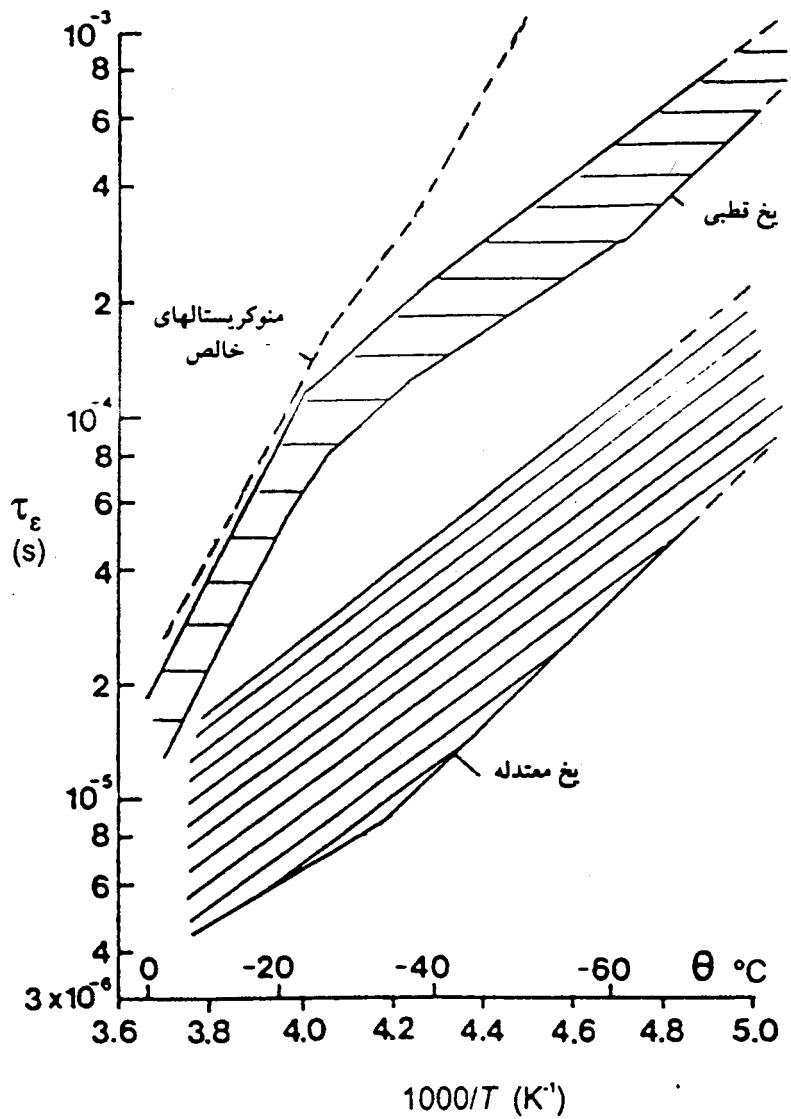


شکل ۱۴- منحنی هایی از زاویه فازهای مشخص برای انواع گوناگون کانی سازی. داده ها از پلتون و دیگران

مشخص نماید. به علاوه تغییرات در بافت و رفتار یک زون پیریتی ممکن است وجود طلا، مس و روی را در مقایسه با نواحی بکر آن نشان دهد (هالوف، ۱۹۸۳). تفسیر IP طیفی با عدم درک ویژگیهای دی الکتریک سنگها محدود می شود. رفتار پارامترهای مختلف دی الکتریک مانند زمان واهلش ممکن است با شرایط فیزیکی مختلف مانند دما متفاوت باشد. (سنت امان و استرانگوی، ۱۹۷۲ - اجیلوی و کوزمینا، ۱۹۷۲ - رینولدز، ۱۹۸۵).<sup>۱</sup>

فرض اینکه پارامترهای دی الکتریک هم دما عمل می کنند ممکن است منجر به تفسیر نادرست گردد. یک مثال در مورد اینکه این وابستگی دما چه جایایی دارای امتیاز عملی است به وسیله رینولدز (b ۱۹۸۷ و ۱۹۸۵) ارائه شده است. زمان واهلش برای یخ یخچالی قویاً تابع دما می باشد. زمان واهلش یخ یخچالی نواحی معتدله (مثلاً یخ در پیرامون نقطه ذوب) دارای یخ یخچالی قویاً تابع دما می باشد. زمان واهلش یخ یخچالی نواحی می باشد (یخ خیلی پایین تر از فشار نقطه ذوب) (شکل ۱۵).

1- Saint - Amant and Strangway, 1970; Ogilvy and Kuzmina, 1972 - Reynolds, 1985



شکل ۱۵ - واستگی دمایی ثابت زمانی و اهلش ۲ برای یخ یخچالی معتدل و یخ یخچالی قطبی نشان می‌دهد که ۲ را می‌توان جهت جدا کردن رژیمهای دمایی دو نوع یخ به کار برد.

در بعضی از یخچالها که هم در نواحی معتدل و هم در نواحی قطبی وجود دارند بایستی به اهمیت جریان یخچالی و ارزیابی خسارت اشاره نمود که می‌توان از طریق اندازه‌گیری دی الکتریک و زمان و اهلش نمونه‌های یخ را از همیگر تفکیک نمود. اندازه‌گیری IP طیفی هنوز بایستی روی یخچالها انجام شود اما اطلاعات به دست آمده از نقطه نظر یخچال شناختی دارای اهمیت فراوان می‌باشد. IP طیفی همچنین در به نقشه درآوردن و تشخیص بین پیکره توده‌های یخی و یخهای بین لایه‌ای در پهنه‌های یخی استفاده دارد.

#### ۴-۳ کاهش نوفه و جفت‌شدگی الکترومغناطیسی

به منظور دستیابی به دقت بالای موردنیاز IP طیفی، نوفه و در هم ریختگی الکتریکی پاسخ IP قبل از اقدام به تفسیر

بایستی به حداقل برسد. چهار نوع سیگنال ناخواسته وجود دارد که سه تا از آنها (تغییرات الکترودهای فرستنده جریان، پتانسیل خودزا و جریانهای تلویریک) به عنوان نوفه در کار IP تلقی می‌شوند و سیگنال چهارمی (جفت‌شدگی القایی الکترومغناطیسی) اعوجاجی است که در فرکانسهای بالا اتفاق می‌افتد که می‌بایستی تخمین زده شده و از داده‌ها حذف شود (هالوف و پلتون، ۱۹۸۰ و هالوف، ۱۹۷۴). با استفاده از صافی در درون دستگاه می‌توان مانع سیگنالهای نوفه‌ای گردید. تغییرات الکترود جریان به دلیل تعویض جریان الکتریکی و فرکانس جریان به کار برده شده موجب اعوجاجهایی در درون جریان موجی شکل به کار رفته می‌شود. به منظور جبران این پدیده یک وسیله چند کاناله برای اندازه‌گیری ولتاژ به کار برده می‌شود. تا ۶ جفت از الکترودهای پتانسیل جهت اندازه‌گیری همزمان ولتاژ به کار برده می‌شود و شکل موجی هر جفت به طور مستقیم با جریان به کار برده شده مقایسه می‌شود، تا اینکه بزرگی دقیق و فاز مربوط به سیگنال موجی شکل را بتوان از هریک از ۶ کانال به دست آورد. مسئله‌ساز ترین تأثیر مربوط به جفت‌شدگی الکترومغناطیسی بوده که بهویژه در فاصله زیاد الکترودهای فرکانسهای بالاتر اتفاق می‌افتد. بالاترین فرکانسهای مورد استفاده در کار IP با پایین‌ترین فرکانسهای مورد استفاده در روش‌های اکتشاف الکترومغناطیسی دارای همپوشی بوده که در آنها القا دارای اهمیت می‌شود. هر سیم حامل جریان در مجاورت و موازات سیم دیگر قرار گرفته باشد، جریانی در درون سیم دوم القاء خواهد شد، مانند آنچه که در مجاورت شبکه کابل‌های نیرو اتفاق می‌افتد. اگر این القاء در سیمهای مرتبط با الکترودهای پتانسیل اتفاق افتد ولتاژ کاذب اندازه‌گیری خواهد شد. بهترین حالت این است که کابل‌های حامل جریان به قدر کافی از کابل‌های پتانسیل دور نگهداشته شوند و یا جهت اطمینان دو نوع کابل هم‌دیگر را به صورت زاویه قائمه قطع کنند. علاوه بر این، کابل‌های حامل جریان می‌توانند جریانی را در درون زمین القاء کنند که منجر به اعوجاج پاسخ IP شود. خوبشخтанه، بستگی فرکانسی مربوط به جفت‌شدگی الکترومغناطیسی به طور قابل تشخیص از پاسخ IP متفاوت بوده و اگر فرکانسی‌ای به کار برده شده به قدر کافی زیاد باشند، اثر جفت‌شدگی را می‌توان اندازه‌گیری نمود و بعداً برای گستره تمام فرکانسها تعیین نموده و از داده‌ها حذف کرد. (هوهمن، ۱۹۷۳، وین و زونگ، ۱۹۷۵، سامنر، ۱۹۷۶ و راتر، ۱۹۷۷، پلتون و دیگران، ۱۹۷۸، هالوف ۱۹۸۳<sup>۱</sup>) معلوم شده است که خط لوله‌ها نیز در مطالعات IP ایجاد نوفه می‌کنند (پارا، ۱۹۸۴)<sup>۲</sup>

#### -۴- برداشت‌های صحرایی

در مطالعات IP می‌توان از کلیه آرایه‌های مقاومت ویژه استفاده کرد. ولی آرایه‌های متداول در این مطالعات عبارتنداز: آرایه دو قطبی - دو قطبی، شلومبرژه، سه قطبی و مستطیل که در زیر شرح داده خواهند شد.

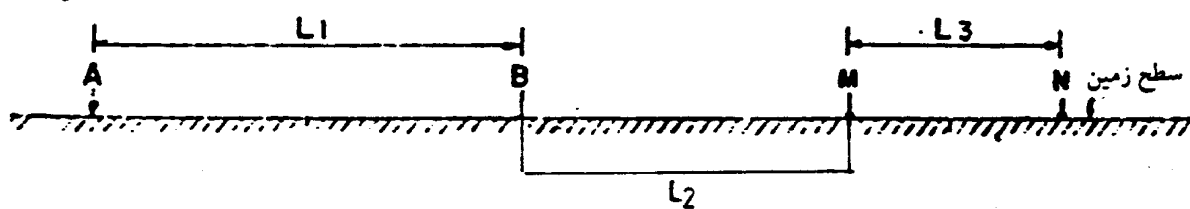
1- Hohmann, 1973, Whnn and Zonge, 1975, Sumner, 1976, Rathor, 1977, Pelton et al., 1978, Hallof, 1983

2- Parra

## ۱-۴ آرایه دوقطبی - دوقطبی<sup>۱</sup>

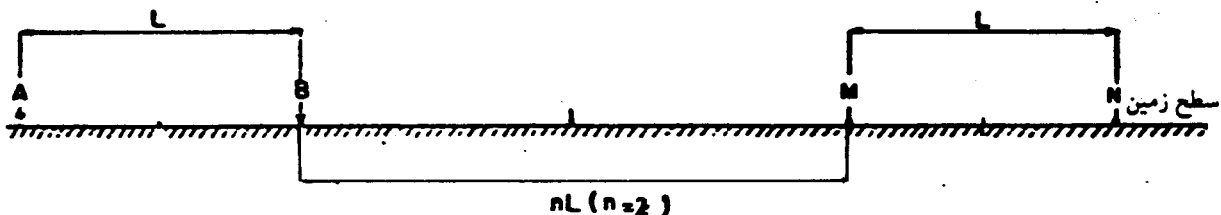
در این آرایه الکترودهای A و B فرستنده جریان و الکترودهای M و N (پتانسیل) در یک ردیف روی یک خط قرار دارند (شکل ۱۶).

این آرایه مطابق شکل زیر توسط طولهای  $L_1 = AB$  و  $L_2 = BM$  و  $L_3 = MN$  مشخص می‌شود.



شکل ۱۶- آرایه دوقطبی - دوقطبی در حالت کلی

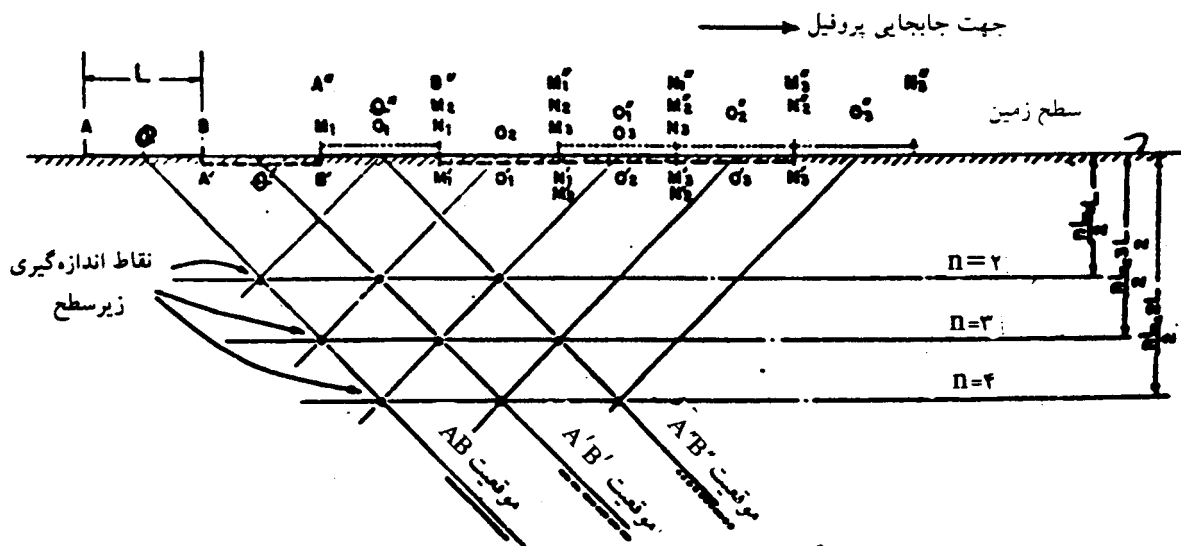
عملای برای این آرایه از نسبتهای  $L_2 = nL$  و  $L_3 = nL$  استفاده می‌کنند. در اینجا  $n$  عدد درستی است که عمق تجسس را مشخص می‌کند (شکل ۱۷).



شکل ۱۷- آرایه دوقطبی - دوقطبی متداول

نقطه اندازهگیری روی مرکز BM در نظر گرفته می‌شود. عمق تجسس با اضافه شدن  $n$ ، افزایش می‌یابد یعنی با افزایش طول BM.

می‌توان پروفیلها یا مقاطع قطبی را برای یک عمق تجسس ثابت با جابجایی مجموع چهارقطبی AB-MN به اندازه یک فاصله ثابت که معمولاً برابر  $L$  می‌باشد، انجام داد. اما اغلب مقاطع قطبی IP برای چندین عمق تجسس انجام می‌پذیرد که به ترتیب زیر عمل اندازه‌گیری انجام می‌شود (شکل ۱۸) :



شکل ۱۸- جابجایی دو قطبی - دوقطبی برای اندازه‌گیری در عمقهای مختلف ( $nL$  برابر فاصله مرکز AB تا MN درنظر گرفته شده است).

- برای یک وضعیت ثابت AB چندین اندازه‌گیری با جابجایی الکترودهای M و N روی پروفیل با یک فاصله  $L$  انجام می‌شود، ایستگاه  $M_1N_1$  ( $n = ۱$ ),  $M_2N_2$  ( $n = ۲$ ),  $M_3N_3$  ( $n = ۳$ ),  $M_4N_4$  ( $n = ۴$ ) و غیره.
- پس از آن AB با یک جابجایی به اندازه  $L$  به وضعیت  $A'B'$  می‌رسد و اندازه‌گیریها بین  $M'_1N'_1$ ,  $M'_2N'_2$ ,  $M'_3N'_3$  و  $M'_4N'_4$  غیره انجام می‌پذیرد.

به همین ترتیب جابجایی الکترودهای فرستنده در "A''B''" و اندازه‌گیریها بین  $M''_1N''_1$ ,  $M''_2N''_2$  و غیره ادامه پیدا می‌کند.

بطور تقریب می‌توان هر نقطه اندازه‌گیری واقع در زیر سطح را از تقاطع خطوطی که از نقاط  $O_1$  (وسط AB) و  $O_1$  (وسط  $M_1N_1$ ) با زاویه  $45^\circ$  درجه نسبت به امتداد آرایش رسم می‌شوند، بدست آورد (شکل ۱۸).

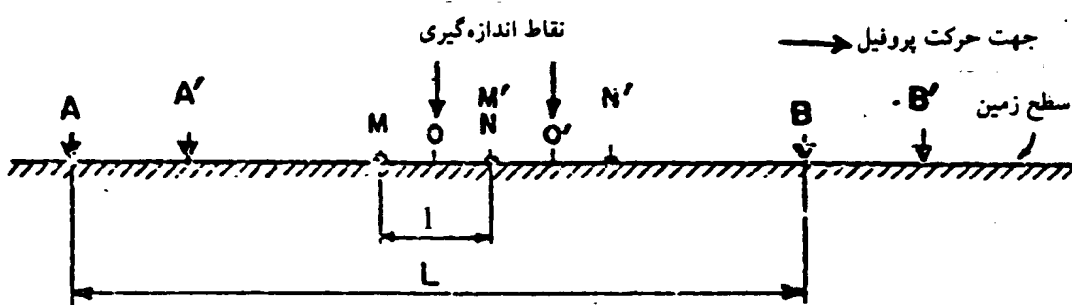
چنانکه مشاهده می‌شود با دورشدن MN مقادیر اندازه‌گیری شده مربوط به لایه‌ها عمیق‌تر می‌شوند. (بطور تقریب عمق برابر  $\frac{nL}{2}$  است). پس از اندازه‌گیری روی یک منطقه می‌توان با استفاده از مقادیر M (بارپذیری)، نقشه‌های هم شدت M را بدست آورد. بهمین ترتیب در کنار این مطالعات می‌توان نقشه‌های مقاومت ویژه را نیز با استفاده از مقادیر  $\rho_a$  بدست آورد. البته طرح اندازه عمق تجسس به این ترتیب ساده‌کردن مسئله است زیرا چنانکه می‌دانیم این

عمق فقط وابسته به فاصله الکترودها نبوده بلکه به اختلاف مقاومت ویژه لایه‌ها نیز بستگی دارد. بنابراین شمای ارائه شده در شکل ۱۸ نمی‌تواند به عنوان یک مقطع عمق در نظر گرفته شود.

آرایه دو قطبی - دو قطبی موجب بدست آمدن یک  $\Delta V$  نسبتاً ضعیف می‌شود و در اغلب اوقات در تکنیک فرانکنس حوزه‌ای مورد استفاده قرار می‌گیرد. استفاده از این آرایه به علت جدایی کامل خطوط AB و MN در کاهش آثار القایی نوافه‌ای تأثیر بسزایی دارد.

## ۲-۴ آرایه چهار قطبی متقارن (آرایه شلومبرژه)

الکترودهای گیرنده M و N و الکترودهای فرستنده A و B در یک ردیف قرار دارند و دارای مرکز مشترکی مانند O هستند. MN بین AB واقع شده است (شکل ۱۹).

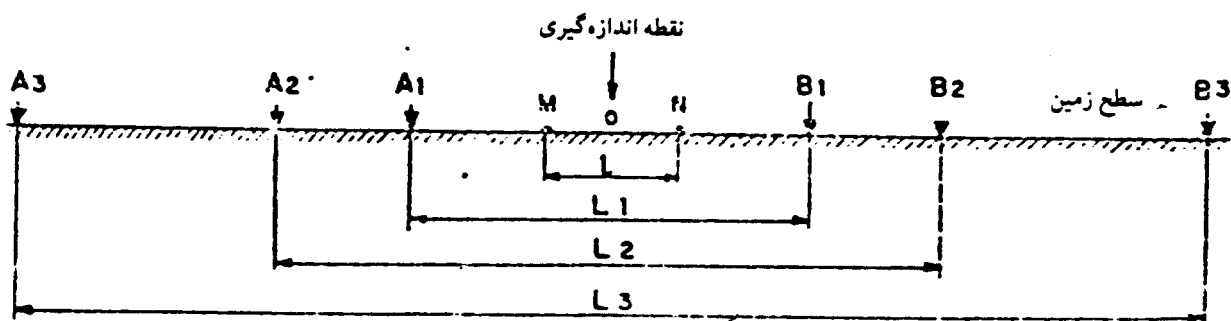


شکل ۱۹- آرایه چهارقطبی متقارن

این آرایه در واقع همان آرایه شلومبرژه می‌باشد که می‌تواند در این مطالعات مورد استفاده قرار بگیرد. چنانکه می‌دانیم در حالت عادی، عمق تعیس با افزایش طول خط فرستنده ( $L = AB$ ) زیاد می‌شود.

برای انجام یک مقطع یا پروفیل، بعد از هر اندازه‌گیری مجموع چهارقطبی AMNB به اندازه فاصله‌ای که اغلب برابر ۱ (فاصله MN) می‌باشد، جابجا می‌شود. می‌توان پروفیلهای مختلفی را برای چندین عمق تعیس با استفاده از خطوط فرستنده  $L_1$  و  $L_2$  و  $L_3$  و غیره بدست آورد (شکل ۲۰).

چون جابجا کردن همزمان همه الکترودها روی زمین بخصوص اگر توپوگرافی شدید باشد، مشکل است و از راندمان عملیات صحرا ای می‌کاهد معمولاً با ثابت نگهداشتن MN فواصل AB را زیاد می‌کنند یعنی ترتیبی که در مطالعات سوندمازهای الکتریکی پیاده می‌شود.



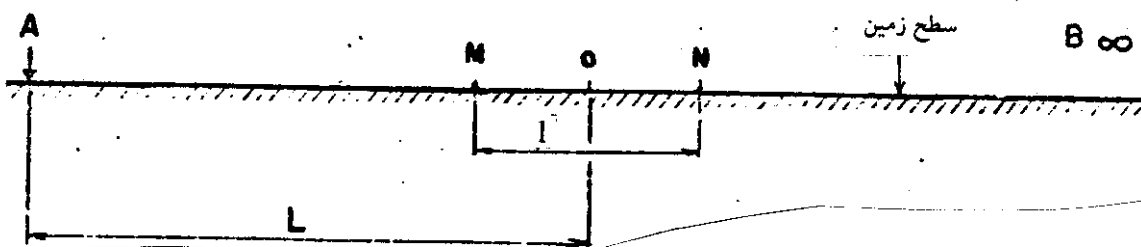
شکل ۲۰- آرایه چهارقطبی متقارن با فواصل الکترودهای فرستنده مختلف

همزمان با این مطالعات (IP) مقادیر مقاومت ویژه ظاهری را نیز بدست می‌آورند و می‌توان تتابع حاصل را به توسط پروفیل یا نقشه ارائه کرد.

### آرایه سه قطبی (قطبی - دو قطبی) ۳-۴

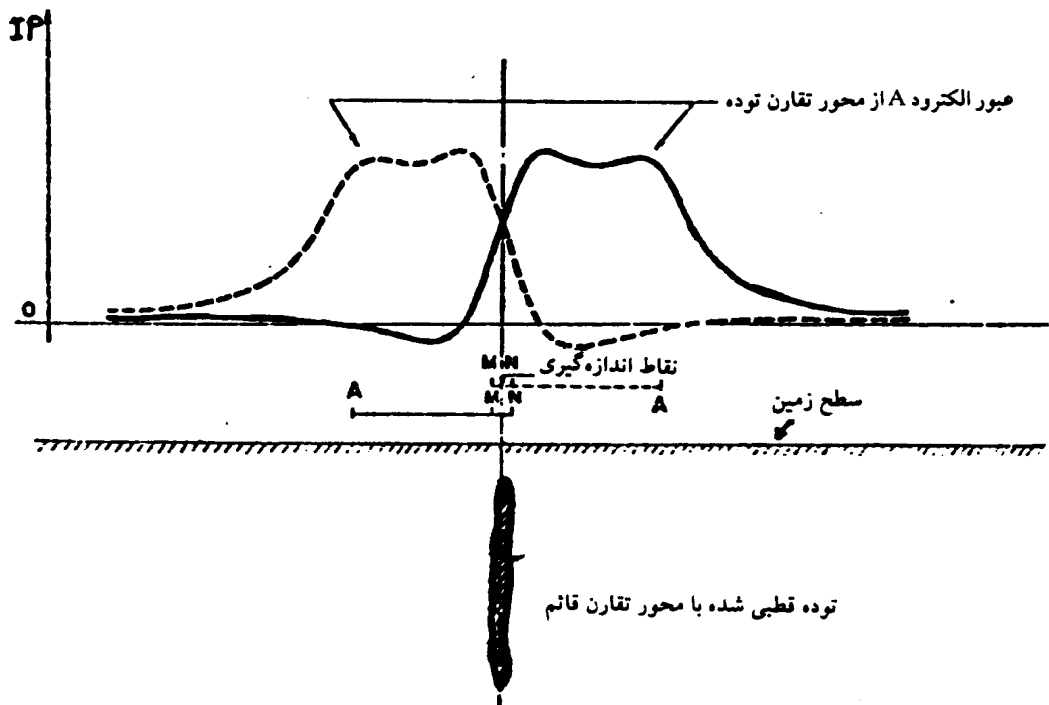
آرایه سه قطبی تشکیل شده از سه الکترود متحرک A، M و N و الکترود ثابت B که در یک نقطه ثابت به فاصله زیاد از سه الکترود متحرک واقع شده است. در اینحال اندازه گیری بین M و N فقط بستگی به جریان فرستنده الکترود دارد. این آرایه به توسط طول  $L = MN$  مشخص می‌شود و اغلب از نسبتهاي  $\frac{7}{2}$  و  $\frac{5}{2}$  و  $\frac{3}{2}$  استفاده می‌شود (شکل ۲۱).

پس از هر اندازه گیری، سه قطبی به اندازه‌ای که اغلب برابر ۱ می‌باشد، جابجا می‌شود. عمق تجسس با افزایش طول L زیادتر می‌شود و به این ترتیب می‌توان پروفیلهایی با چندین عمق تجسس با استفاده از الکترودهای مختلف A<sub>۱</sub> و A<sub>۲</sub> و A<sub>۳</sub> و L<sub>۱</sub> و L<sub>۲</sub> و L<sub>۳</sub> از مرکز MN قرار دارند، تهیه کرد.

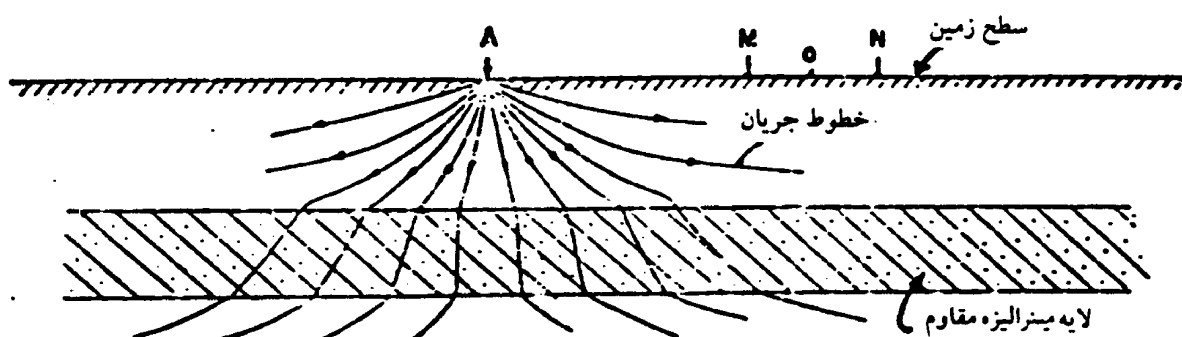


شکل ۲۱- آرایه سه قطبی

اگر محل اندازه‌گیری نقطه O واقع در وسط MN در نظر گرفته شود آنومالی IP مربوطه متقارن نخواهد بود، حتی اگر دارای توده قابل قطبی شدن با محور یا صفحه متقارن باشیم. علاوه بر این ماکزیمم یا ماکزیمم‌های آنومالی نسبت به محور قائم ساختار دارای جابجایی خواهد بود (شکل ۲۲). برای اینکه بتوان یک تطابق تقریبی بین نقطه ماکزیمم آنومالی و جسم قابل قطبی شدن که به دنبال آن هستیم، بدست آورد، عده‌ای ترجیح می‌دهند که اندازه‌گیری را در مرکز AB یا AN انجام دهند. مزیت آرایه سه قطبی در آن است که در طول یک پروفیل فقط سه الکترود جابجا می‌شود. علاوه بر آن چون MN همیشه نزدیک A قرار دارد سیگنال  $\Delta V_{IP}$  بزرگ می‌باشد که امکان انجام اندازه‌گیریهای دقیق را فراهم می‌سازد. از دیگر مزایای این آرایه آن است که سبب قطبش خوبی در نزدیکی الکترود A برای مینرالهایی که در یک لایه مقاوم تقریباً افقی قرار دارند، می‌شود (شکل ۲۳).



شکل ۲۲- پاسخ آرایه سه قطبی در مقابل یک توده متقارن



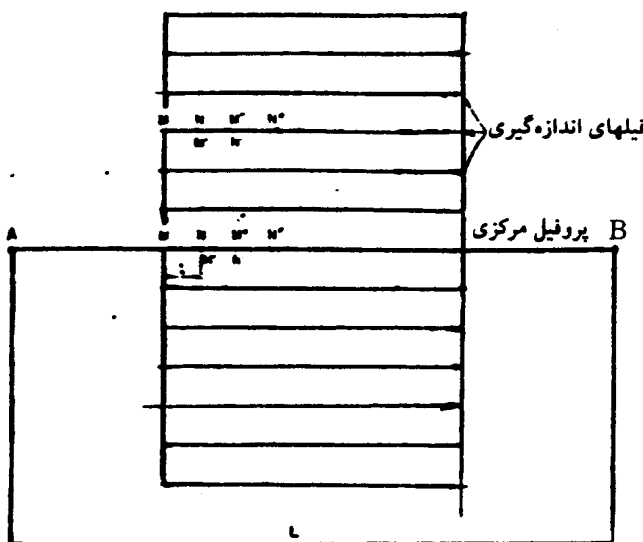
شکل ۲۳- استفاده از سه قطبی برای مطالعه لایه‌های مینرالیزه مقاوم

از معایب این آرایه مشخص نکردن کامل وضعیت توده‌های میزالیزه است که در این موارد می‌توان از آباکهای تنوری و یا توسط عوض کردن محل الکترودهای A و MN (تغییر سمت) استفاده کرد.

#### ۴-۴ آرایه مستطیل

آرایه «مستطیل AB» عبارتست از پیاده کردن یک خط فرستنده ثابت  $L = AB$  و انجام اندازه‌گیریها بین الکترودهای M و N که در روی پروفیلهای موازی با AB جابجا می‌شوند (شکل ۲۴). جابجایی اغلب برابر طول  $1 = MN$  باشد که فاصله ۱ با توجه به ابعاد توده‌های میزالیزه مورد مطالعه انتخاب می‌شود.

اندازه‌گیریهای IP و مقاومت ویژه همیشه در مرکز MN قرار دارند. عمق تجسس با طول  $L = AB$  در ارتباط است و همیشه می‌توان چندین پروفیل AB را با افزایش طول آن برای عمقهای مختلف بدست آورد. عموماً ایستگاههای اندازه‌گیری در داخل یک مستطیل که مرکز آن O، منطبق بر وسط AB است و ضلع کوچک مستطیل از  $\frac{AB}{3}$  یا  $\frac{AB}{2}$  بیشتر نیست، واقع شده‌اند.

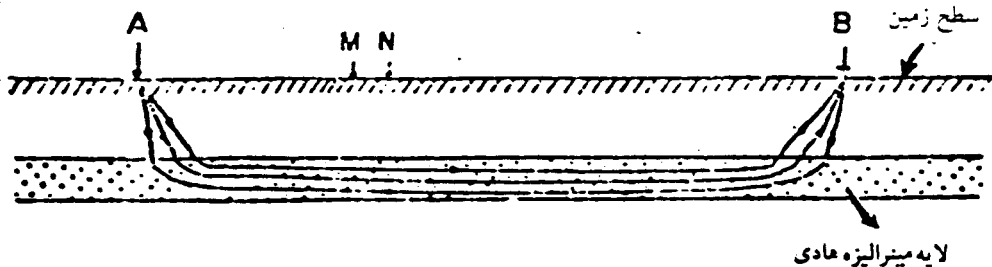


شکل ۲۴-آرایه مستطیل

زمانی که طول AB پوشانده شد (از نظر اندازه‌گیری)، برای اندازه‌گیری یک زون جدید خط جريان AB جابجا می‌شود.

«پروفیل AB» حالت خاصی از مستطیل AB است که در آن الکترودهای M و N روی پروفیل مرکزی AB باقی می‌مانند. آرایه به روش مستطیل AB دارای یک مزیت مهم روی زمین می‌باشد، و آن این است که ما فقط یک جفت الکترود M و N را جابجا می‌کنیم.

این موضوع باعث افزایش سرعت عملیات می‌شود، بعلاوه شدت جریان براحتی می‌تواند ثابت نگهداشته شود. بر عکس در اینجا از خطوط جریان AB نسبتاً بزرگ استفاده می‌شود، تا زون مورد مطالعه دارای محدودیت نباشد و نهایتاً پروفیلها کوتاه و ایستگاههای اندازه‌گیری نزدیک بهم نگرددند. این موضوع سبب می‌شود تا نسبت  $\frac{L}{\text{برگ}} \geq 1$  گشته و سیگنال  $\Delta V_{IP}$  کوچک گردد، که برای اندازه‌گیریهای دقیق محتاج به یک گروه فرستنده قوی و یک دستگاه گیرنده حساس هستیم.



شکل ۲۵- استفاده از آرایه «مستطیل AB» برای لایه‌های میترالیزه هادی

آرایه «مستطیل AB» برای مسائلی که احتیاج به خطوط کوچک AB ندارند دارای مزیت می‌باشند که در زیر دو مثال از کاربرد این آرایه ذکر می‌شود:

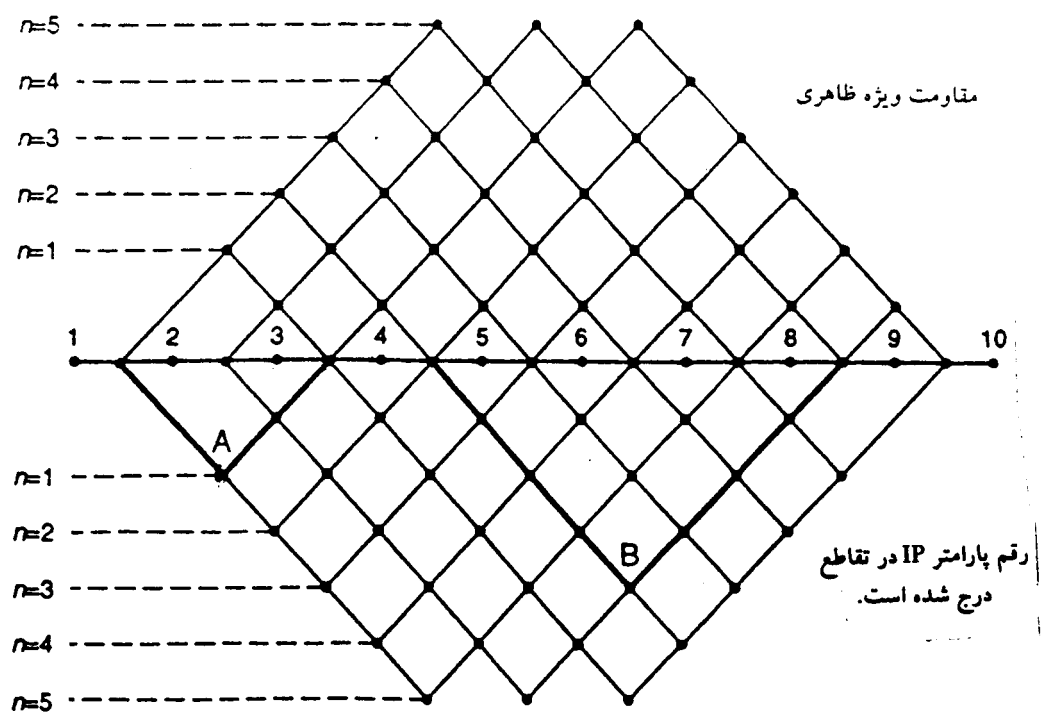
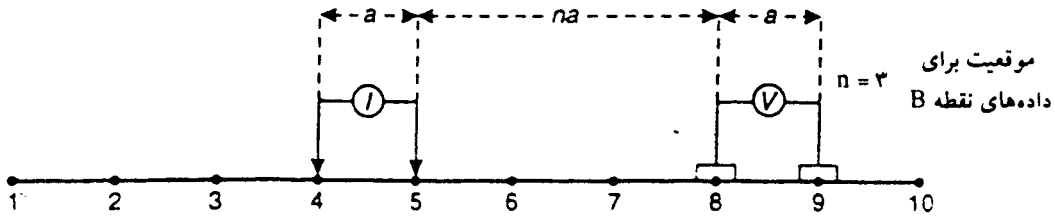
- کانی‌سازیهای رگه‌ای تقریباً قائم که تا عمق زیادی در داخل پوسته زمین ادامه داشته باشند. در این حال یک خط AB که عمود بر امتداد کانسار قرار می‌گیرد امکان قطبی کردن صحیح کانسار را فراهم می‌سازد. این قطبش حتی اگر طول AB بزرگ باشد بخوبی انجام می‌گیرد، زیرا خطوط جریان باید اجباراً از این کانسار بگذرند.

- کانی‌سازی در یک لایه تقریباً افقی هادی قرار دارد. در این حالت مطابق شکل ۲۵ خطوط نسبتاً طویل AB ایجاد یک دانسته جریان قوی در داخل لایه هادی می‌کنند که باعث قطبش خوب میترالهای موجود در لایه می‌شود. این وضعیت در شرایطی می‌تواند در مورد لایه‌های آبدار شیلی نیز بوجود آید.

## ۵- شکلهای نمایش داده‌های IP

داده‌های مربوط به قطبش القایی برای فاصله الکترودی معین، بهویژه وقتی که به صورت زمان حوزه‌ای اندازه‌گیری می‌شود، معمولاً به صورت پروفیلهای ساده و نقشه‌های بارپذیری پیاده می‌شوند. عامل فلزی یا اثر درصد فرکانس در روش‌های فرکانس حوزه‌ای وقتی که داده‌ها به صورت شبیه مقطع پیاده شوند مفیدتر خواهد بود (شکل ۲۶).

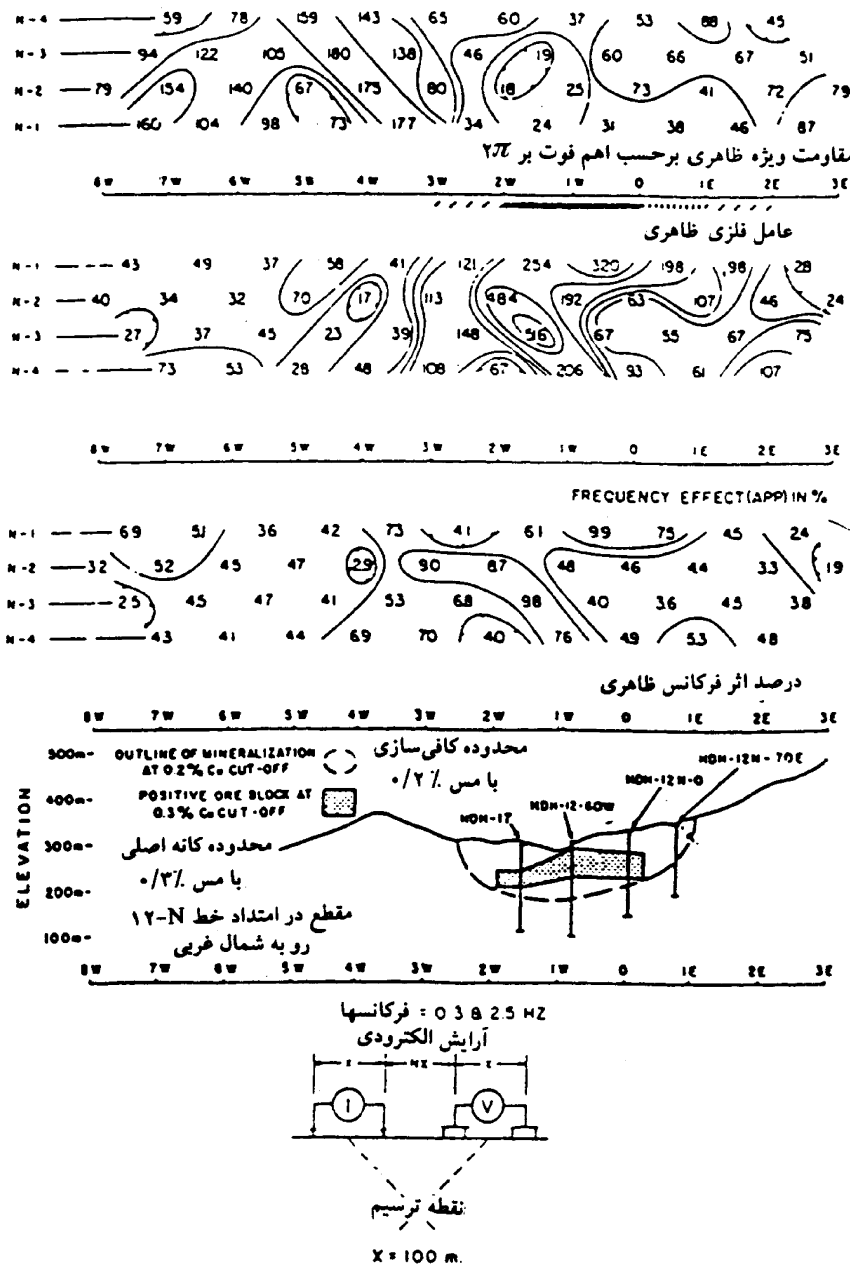
توجه شود که فاصله نقاط داده‌ها بستگی به رقم صحیح  $n$  در آرایه دو قطبی - دو قطبی داشته و به طول واقعی دو قطبی بستگی ندارد، بهر صورت افزایش عمق نفوذ در ارقام زیادتر  $n$  به صورت ضمنی بوده و به عنوان راهنمای عمق تقریبی نقطه‌های اندازه‌گیری برابر  $\frac{(n+1)a}{2}$  می‌باشد، بعنوان مثال برای  $n = 1$  برابر  $a$  است و برای  $n = 3$  برابر  $2a$  است که در آن  $a$  طول دو قطبی می‌باشد. هر یک از داده‌ها در تقاطع دو خط ترسیم شده با زاویه  $45^\circ$  از نقطه وسط هر دو قطبی رسم شده است.



شکل ۲۶- یک شبیه مقطع را چگونه می‌توان رسم کرد. برای یک آرایه دو قطبی - دو قطبی با الکترودهای فرستنده جریان و پتانسیل به ترتیب ۱-۲ و ۴-۳ ( $n=1$ )، نقطه اندازه‌گیری در نقطه A قرار گرفته است، برای دو قطبی‌های ۵-۴ و ۹-۸ ( $n=3$ )، در نقطه B آورده شده است.

دو وضعیت در شکل ۲۶ مشخص شده است برای  $n=1$  و دو قطبی‌های ۱-۲ و ۴-۳ ارقام داده‌های اندازه‌گیری شده در نقطه A پیدا شده، برای  $n=3$  و دو قطبی‌های ۵-۴ و ۹-۸ وضعیت در B قرار دارد. ترسیم شبیه مقطع مقاومت ویژه ظاهری معمولاً در عکس جهت و بالای ارقام IP رسم می‌شوند. تصویر سطحی زونهای دارای بی‌هنجاریهای IP را می‌توان با توجه به اهمیت آنها به صورت خطوط پیوسته، خط‌چین و خط‌چین مورب در بالای شبیه مقطع به منظور تعیین موقعیت کانی‌سازی قطعی، محتمل و ممکن ترسیم نمود (شکل ۲۷).

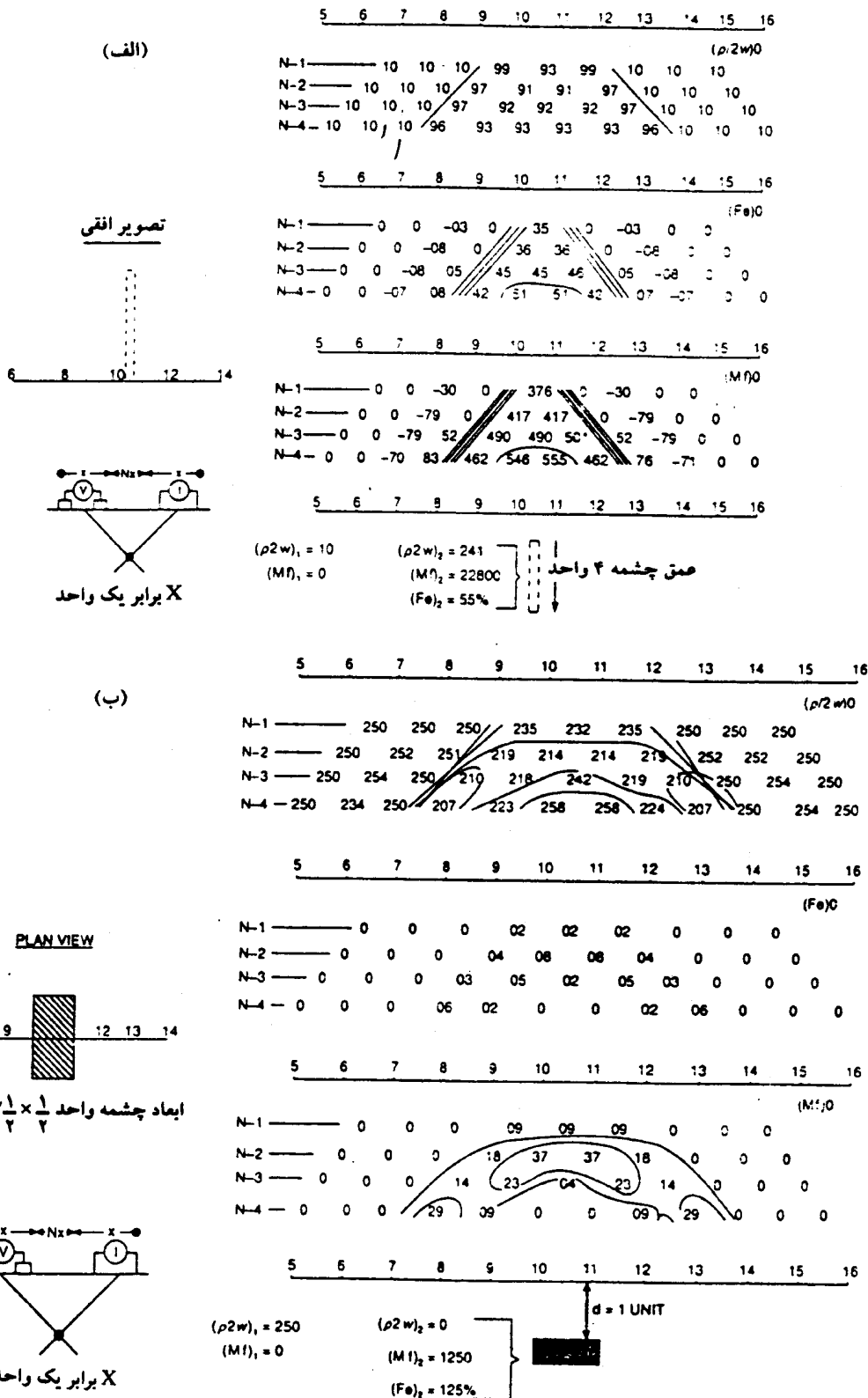
تفسیر چنین نمایشها بی، در قیاس با دست آوردهای مدل‌های نظری و یا تجربی مقیاس‌دار، کیفی می‌باشد. در شکل ۲۸ مثالهایی از مقاومت ویژه ظاهری، عامل فلزی و اثر فرکانس برای دو مدل داده شده است. در هر دو حالت طرح واره‌های هر سه پارامتر IP حول وضعیت مرکزی متقابن بوده و طرح واره یک V برگشته را ایجاد می‌کند.



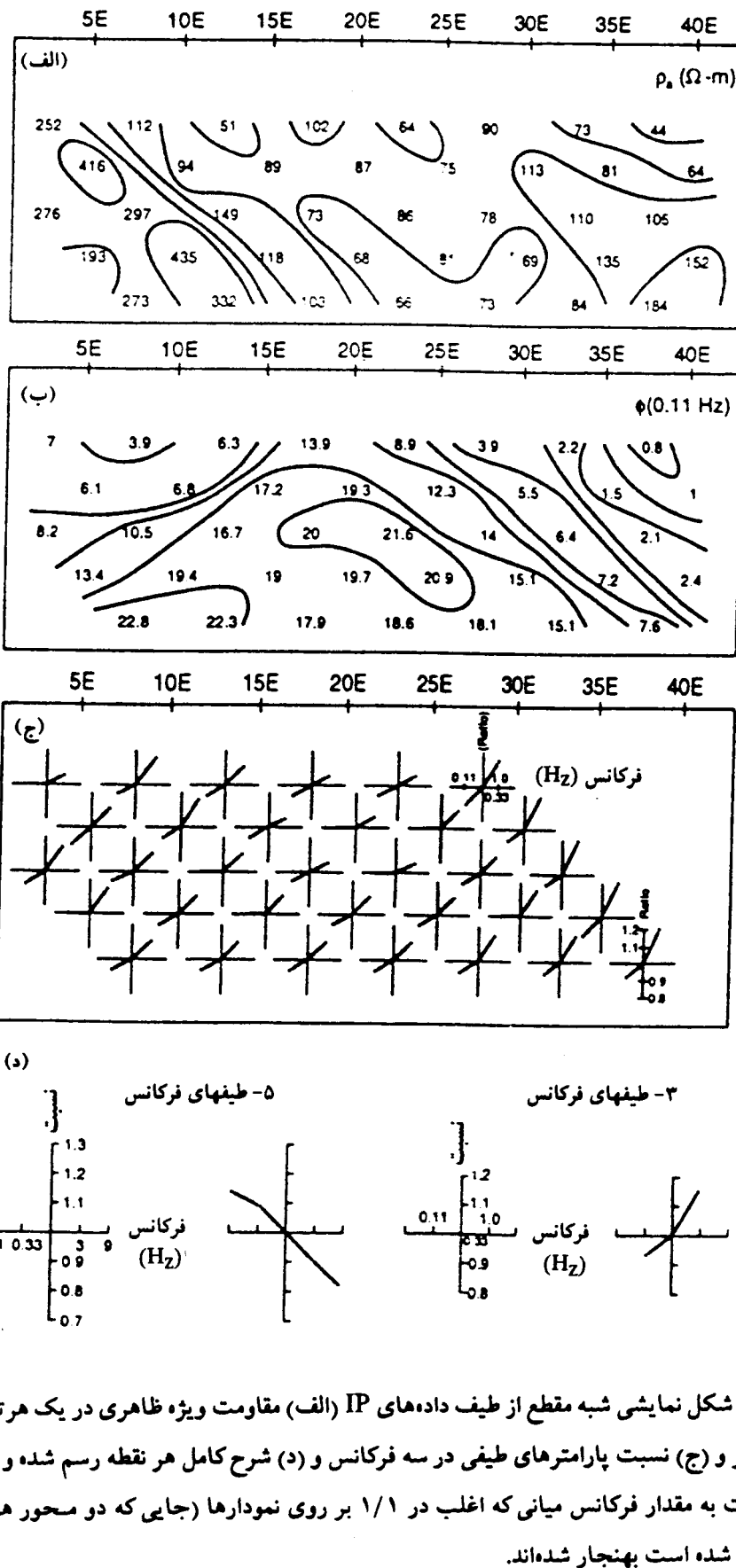
شکل ۲۷- پروفیلهای مقاومت و نیزه، عامل فلزی و اثر فرکانس روی معدن هینویان که در نمودار پایین مقطع زمین شناسی آن بطور طرح وار نشان داده شده است. از طول دو قطبی ۱۰۰ متر و فرکانسهای ۰/۳ و ۰/۵ HZ استفاده شده است.

داده‌های مقاومت و نیزه ظاهري بر روی بلوك مستطيل شكل افقي، دو زون «کم مقدار» مربوط به اثرهای دو سر بلوك را نشان می‌دهد. همچنین زون «پرمقدار» بی‌هنجری لوزی شكل در عامل فلزی ظاهري در بالاي مدل بلوك قابل توجه است.

از اين دو مجموعه داده‌ها اثر فرکانس ظاهري نسبت به مدل کمتر حساس است و نسبت به عامل فلزی ظاهري کمتر قابل تشخيص می‌باشد.



شکل ۲۸- دو مدل تجربی برای نمایش مقاومت ویژه ظاهری، اثر فرکانس و عامل فلزی بر روی (الف)  
یک منشور قائم باریک و (ب) یک بلوک مستطیلی افقی.

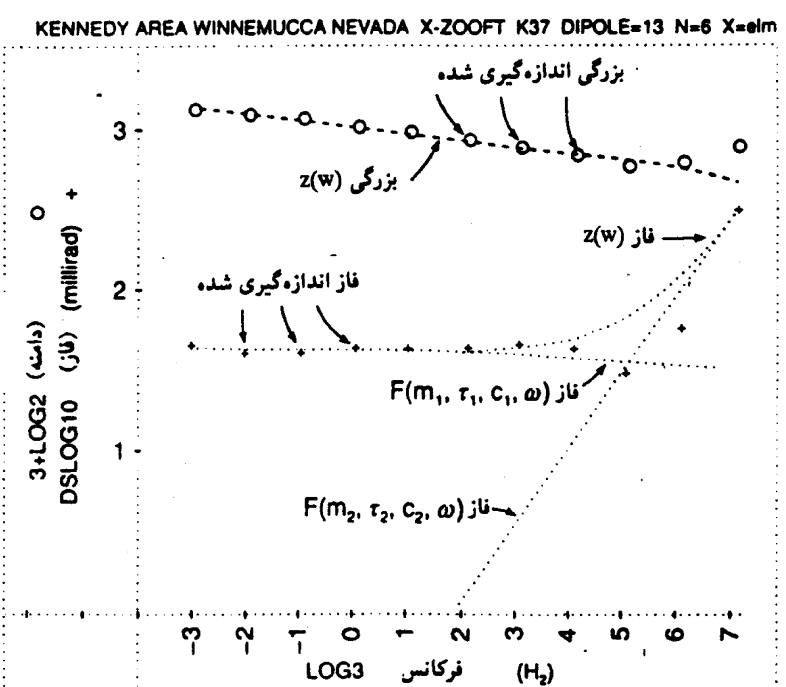


شکل ۲۹- سه شکل نمایشی شبیه مقطع از طیف داده‌های IP (الف) مقاومت ویژه ظاهری در یک هرتز (ب) زاویه فاز در  $11/0^\circ$  هرتز و (ج) نسبت پارامترهای طیفی در سه فرکانس و (د) شرح کامل هر نقطه رسم شده و نشان می‌دهد که اطلاعات نسبت به مقدار فرکانس میانی که اغلب در  $1/1$  بر روی نمودارها (جایی که دو محور همدیگر را قطع نموده‌اند) رسم شده است بهنجار شده‌اند.

دیگر شکل نمایشی به کاربردن طیف سه فرکانسی است که بر روی شکل اصلاح شده یک شبیه مقطع رسم می‌شود (شکل ۲۹). پارامترهای طیف IP که تا پنج فرکانس اندازه‌گیری شده مثلاً برای  $0/11$ ،  $0/33$ ،  $1/0$  و  $3/0$  هرتز خلاصه شده از تمامی طیف فرکانس بوده و نسبت به مقدار فرکانس میانی ( $1/0 = \text{نسبت}$ ) بهنجار شده به عبارت دیگر پارامترها برای پنج فرکانس نسبت به مقدار یک هرتز و برای سه فرکانس (بین  $1/1$  تا یک هرتز) نسبت به رقم  $0/33$  هرتز بهنجار شده‌اند، آنگاه مقادیر بهنجار شده در مقابل فرکانس رسم شده‌اند (هالوف و پلتون ۱۹۸۱، هالوف ۱۹۷۵) (شکل ۲۹-د).

شکل نمودار در هر وضعیت ترسیمی می‌تواند به گونه کاو به سوی بالا و کاو به سوی پایین دسته‌بندی، (فراسر و همکاران ۱۹۶۴) یا در قالبی ویژه و شناختنی بر پایه شبیه نمودار گروه‌بندی شود (زونگ و وین ۱۹۸۱، هالوف و پلتون ۱۹۸۲).

پیشرفت اساسی هر نمایش و تفسیر طیف IP در مدل‌سازی رایانه‌ای از مقادیر اندازه‌گیری شده بزرگی و فاز بر حسب مدل‌های واهلش کول کول می‌باشد. چنین برنامه‌هایی اجازه شناسایی و حذف بعدی جفت‌شده‌گی القابی طیف را میسر می‌سازد، در چنین حالتی چهار پارامتر کلیدی IP ( $m_1, \rho, \tau, C$ ) که پاسخ IP را تعریف می‌کنند می‌تواند به گونه‌ای دقیق تعیین شود. یک مثال از نمودار دامنه - فاز مربوط به طیف IP در شکل ۳۰ داده شده است. در این شکل می‌توان دید که در فرکانس‌های پایین جفت‌شده‌گی القابی دارای اثر کمی می‌باشد، در حالیکه در فرکانس‌های بالا این اثر غالب می‌شود.

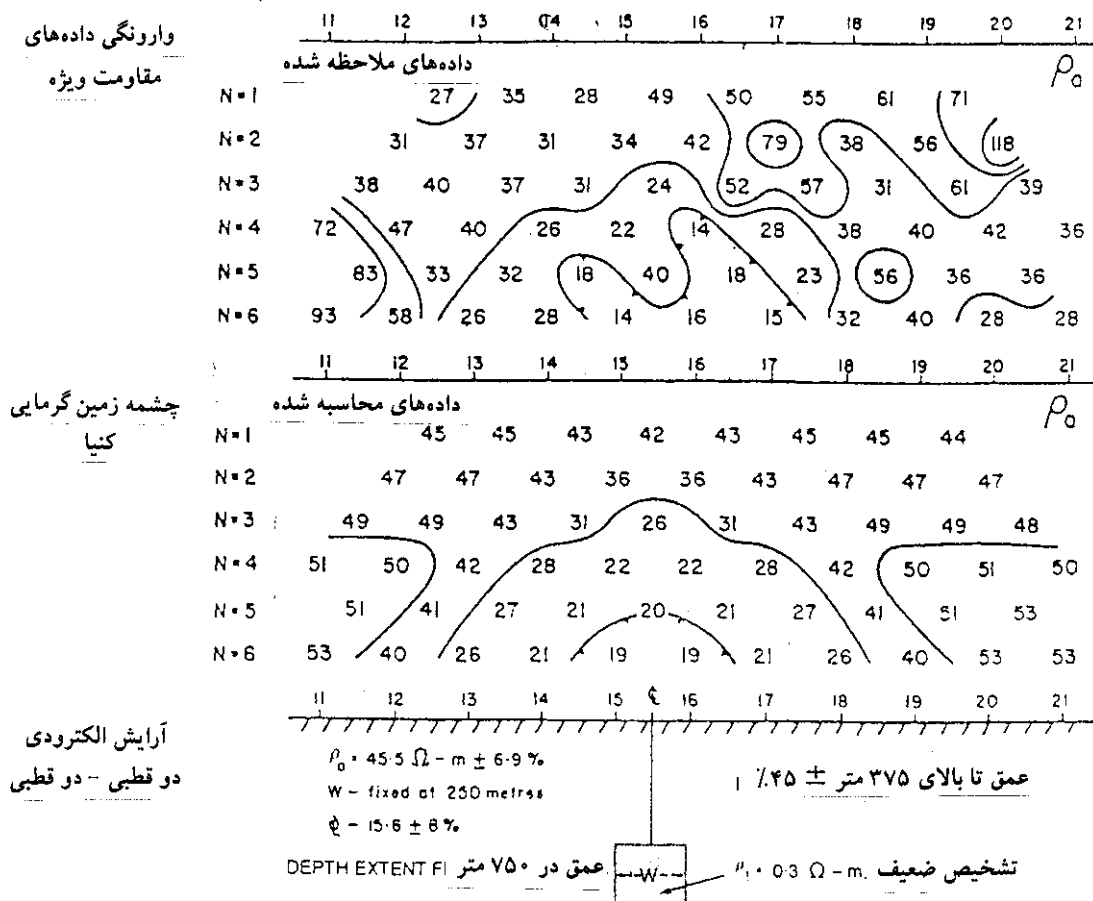


شکل ۳۰- مثالی از یک نمودار دامنه - فاز طیف IP گرادیان تند در فرکانس‌های بالا در نتیجه جفت‌شده‌گی القابی بوده در حالی که داده‌ها در فرکانس‌های پایین با نمودار تقریباً تخت را می‌توان برای بدست آوردن پارامترهای الکترونیکی زمین تبدیل کرد.

## ۶- کاربردها و گزارش‌های موردی

### ۱-۶ برداستهای زمین گرمایی<sup>۱</sup>

چشممه‌های زمین گرمایی اغلب در چرخه آبهای زیرزمینی تحرک سیالی بالای دارند. این مطلب منجر به مقاومت ویژه‌های کمی می‌شود که می‌تواند توسط روش‌های IP آشکار شود. نتیجه‌های برداست IP بر روی حوزه زمین گرمایی محتمل در کنیا در شکل ۳۱ نشان داده شده است (هالوف و پلتون ۱۹۸۱)، که مقدارهای مقاومت ویژه ظاهری کمی را برای  $n = 5$  و  $6$  بین موقعیتهای ۱۴ و ۱۷ نشان می‌دهد. تحلیل رایانه‌ای این داده‌ها مدل موجه زمین‌شناختی برای یک رسانای اصلی را ارائه می‌دهد که خوب مشخص نشده است. این مدل در ژرفای بین  $350$  تا  $400$  متر و پهنای  $250$  متر تعیین شده است. گرچه برداست نتوانسته است مرکز احتمالی زمین گرمایی را به گونه‌ای قطعی مشخص نماید اما هدف خوبی برای برداستهای تفصیلی بیشتر فراهم کرده است.



شکل ۳۱- داده‌های مقاومت ویژه ملاحظه شده و محاسبه شده در طول برداستهای IP

با مقاومت ویژه ظاهری کم ( $30/0$  اهم متر) چشممه زمین گرمایی در کنیا

زهدی و همکاران<sup>۱</sup> (۱۹۷۳) یک نوع مطالعه ترکیبی از مقاومت ویژه، خودپتانسیل و قطبش القایی بر روی حوزه زمین گرمایی با بخار غالب در پارک ملی یلواستون<sup>۲</sup> وایومینگ آمریکا (شکل ۳۲) را شرح می‌دهد. گستردگی بی‌هنجری SP که در اثر بالاً‌آمدن آب ایجاد شده است (به گونه‌ای که پیکانها در صفحه‌بندی پایینی شکل نشان می‌دهند)، به سوی جنوب شرقی ادامه می‌یابد زیرا آب زیرزمینی بطور جانبی وارد مواد تراواتر شده و در آنجا رو به پایین حرکت می‌کند.

مقاطع مقاومت ویژه ظاهری توزیع عمومی سازندها را نشان می‌دهد، به‌طوری که آنها ای که رو به شمال غربی قرار گرفته‌اند مقاومت ویژه حقیقی کمتری (ده تا ۱۳° اهم متر) از آنها ای که رو به جنوب شرقی قرار گرفته‌اند (بزرگتر از ۱۳° اهم متر) دارا می‌باشند.

قطع درصد اثر فرکانس دارای مقدار زمینه شاخصی در حدود ۵ درصد است که به مواد رسی و پیریت موجود در لایه‌های سطحی کم عمق نسبت داده می‌شود. بی‌هنجری IP که به شکل ویژه‌ای توسط یکی از مقاطع (متر ۱۰۰۰ = AO) نشان داده شده است در اثر ازدیاد پیریت گله به گله‌ای می‌باشد که توسط چرخش آبهای گرم نهشته شده‌اند، همانطور که داده‌های گمانه‌های حفاری منطقه نشان می‌دهند.

## ۲-۶ بررسیهای آب زیرزمینی

وک کوایر و همکاران<sup>۳</sup> (۱۹۵۷) نخستین کسانی بودند که قطبش القایی را با شرح دو نمونه موردنی مفید برای بررسیهای هیدرولوژی (آبشناسی) بکار برdenد. مورد اول برای محل نزدیک کاری زوزو<sup>۴</sup> نیومکزیکو در دره‌ای که مرز جنوب شرقی آن سییرابلانکا است و شامل سنگهای آتش‌فشاری می‌باشد انجام شده که از آنها آب آشامیدنی گرفته می‌شود. به سوی شمال و غرب رسوبات کرتاسه دره تولا روزا<sup>۵</sup> با آلوده نمودن آبهای زیرزمینی توسط کلرایدها و گچ آنها را غیرقابل مصرف می‌سازد. شکل ۳۳ نقشه‌ای از مقادیر IP را که ده ثانیه پس از قطع جریان اندازه‌گیری شده نشان می‌دهد. پریندها بگونه‌ای تقریبی بسوی شمال - جنوب جهت گرفته‌اند، و بیانگر شبکه زهکشی موجود می‌باشند. مرزهای این شبکه با پریندهای  $\frac{mv}{v}$  در شرق و  $\frac{mv}{v}$  در غرب مطابقت دارند. چاه آبیاری ۱-IR با آبده‌ی در حدود ۴۵۰۰ لیتر در دقیقه و کیفیت آب نسبتاً پایین و از اینرو با IP کم ( $\frac{mv}{v} \approx 3mv$ ) مشخص شده است. منحنی بسته شده با مقدار  $\frac{mv}{v}$  (۱-L-) بعداً حفاری شده و آب با کیفیت بهتر، در حدود ۴۵۰ لیتر در دقیقه بدست آمده است.

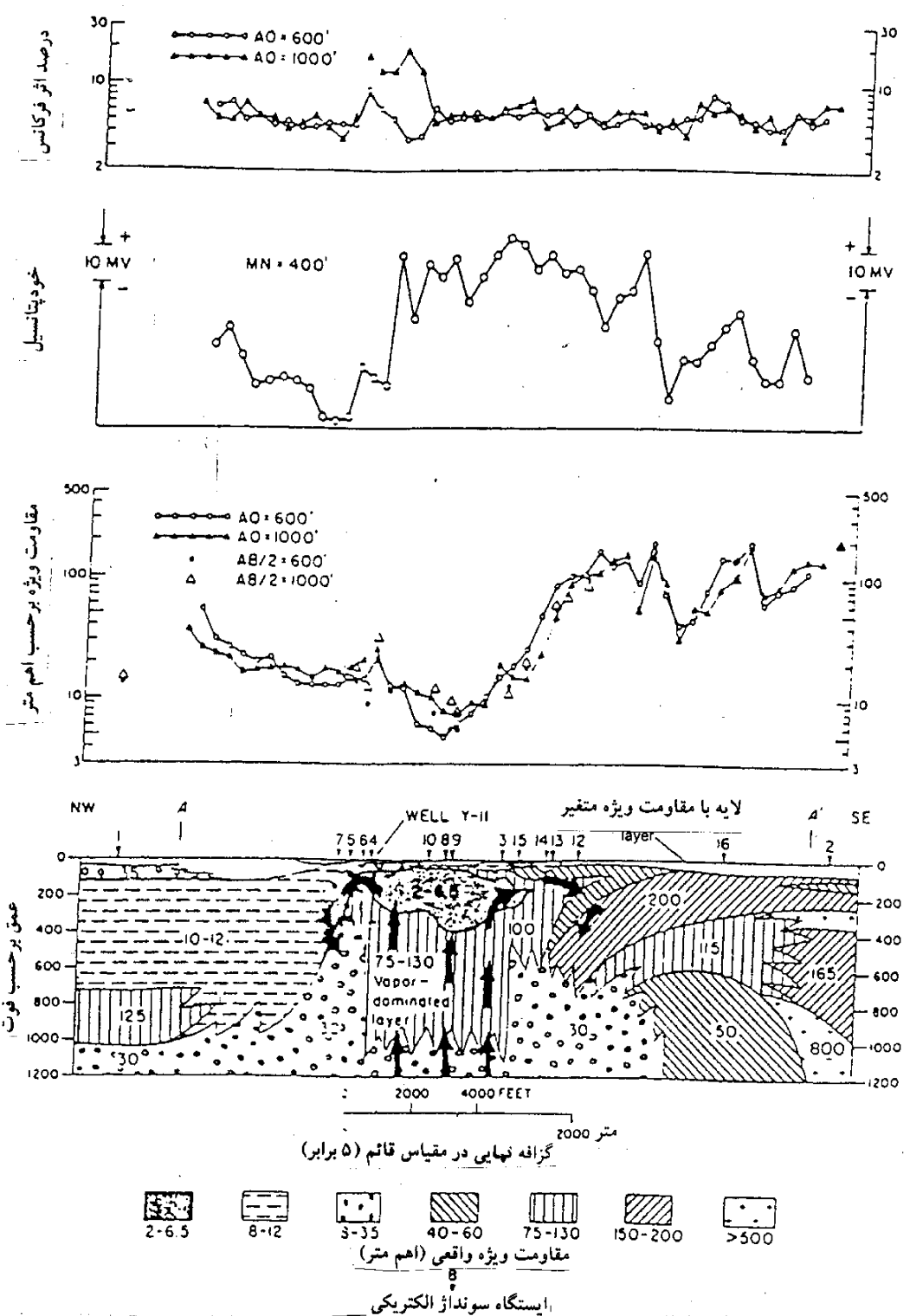
1- Zohdy et al.

2- Yellowstone

3- Vacquier et al.

4- Carrizozo

5- Tularosa



شکل ۳۲- داده‌های درصد اثر فرکانس و مقاومت ویژه ظاهری در طول یک سیستم زمین گرمایی با بخار غالب در پارگ ملی یلواستون که با مقطع خودپتانسیل در راستای همان عارضه مقایسه شده است (تفسیر مقطع زمین‌شناسی در پایین صفحه نشان داده شده است).

نقشه نشان داده شده در شکل ۳۳-ب پربندهایی از نسبت مقدارهای IP اندازه‌گیری شده در پنج ثانیه و ده ثانیه بعد از قطع جریان را نمایش می‌دهد. وک‌کوایر و همکاران از این پربندها در جهت وضوح بیشتر یک کاتال مدفعون استفاده کرده‌اند با این مفهوم که نسبتهای بالاتر در ارتباط با مواد ریزدانه تر می‌باشد.

اجیلوی و کازمینا<sup>۱</sup> (۱۹۷۲) یک مدل تجربی آزمایشگاهی را برای آزمایش کارایی اندازه‌گیریهای IP حوزه زمان در تعیین محل تجمع آبهای زیرزمینی در روباره ماسه‌ای - رسی انجام داده‌اند. در حالیکه پروفیل با فاصله‌های ایستگاهی ثابت استاندارد بر روی عدسی نیمکره‌ای آب شیرین تولید بی‌亨جارت مقاومت ویژه ظاهری پهن کرده است، بی‌亨جارت بارپذیری IP به دو شکل باریک و شبیه‌دار است (شکل ۳۴-الف)، نتیجه‌ای که توسط وک‌کوایر و همکاران نیز گرفته شده بود. اما برای مدلی با همان ابعاد و هندسه ولی با عدسی حاوی آب شور، منحنی‌های مقاومت ویژه ظاهری و بارپذیری IP برخلاف نسبت ولتاژ اضافی IP در ۵/۰ ثانیه به ۵ ثانیه پس از قطع جریان، پهن بوده است (شکل ۳۴-ب).

مثالهای وک‌کوایر و همکاران و اجیلوی و کازمینا نشان می‌دهد که برای حوزه زمان IP نقشه‌های نسبت ولتاژ اضافی برای دو زمان مختلف می‌تواند تفکیک دقیقتری از پیکره‌های آب زیرسطحی در مقایسه با نقشه‌های ولتاژ اضافی برای اندازه‌گیریهای با زمان منفرد فراهم سازد. در حالیکه روش IP می‌تواند تفسیر مفیدی از پیکره‌های آب زیرزمینی تهیه نماید، کاربرد روش صحرایی آن کمتر از روش‌های الکترومغناطیسی القایی جدید می‌باشد و این ممکن است به سبب کمبود مثالهای اخیر مربوط به مصرف IP در بررسیهای آب زیرزمینی باشد.

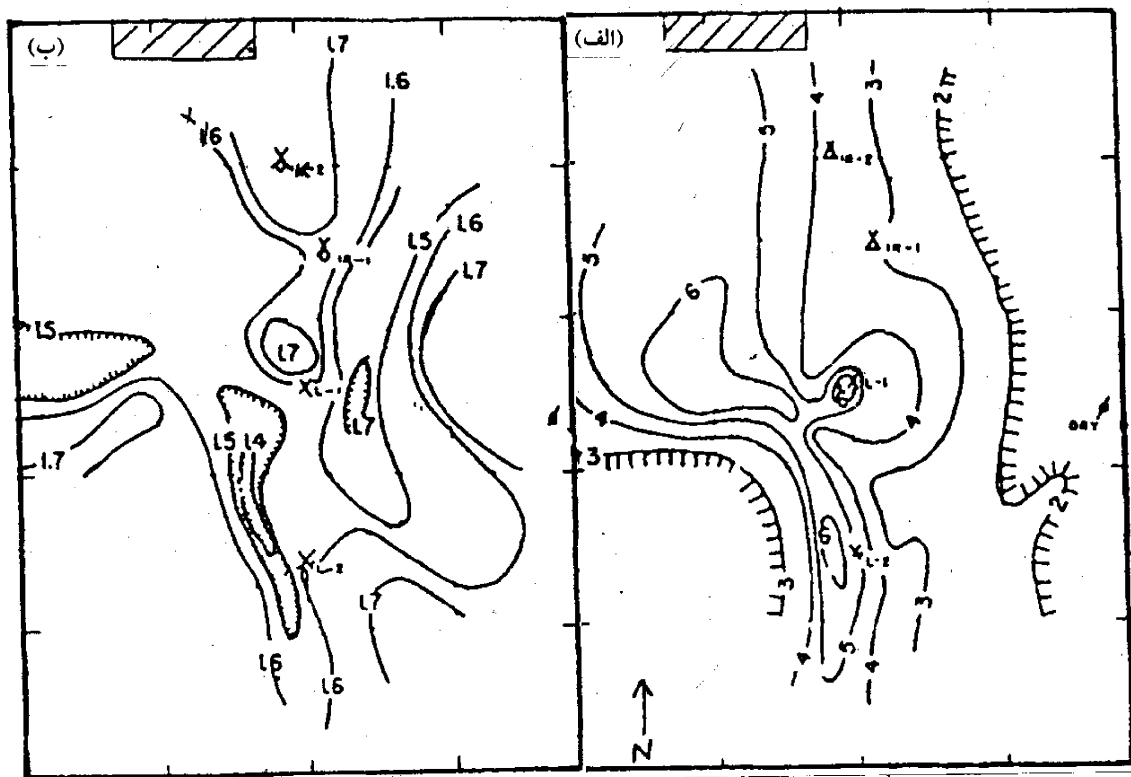
### ۳-۶ کاربردهای زیست محیطی

از اوایل دهه ۱۹۸۰ به امکان استفاده IP در بررسی محلهای آلوده علاقه نشان داده شده است. به طور مثال ال‌هوفت<sup>۲</sup> (۱۹۸۵) سرشتهای IP سنگهای آلوده شده به مواد آلی را بررسی نمود. مواد آلی شیمیایی می‌توانند در مقابل کانیهای رسی واکنش نشان دهند بگونه‌ای که پاسخ IP مربوط به مخلوط کانیهای رسی و الکتروولیت عوض شود. این کار توسط سوی نیون وونهالا<sup>۳</sup> (۱۹۹۲) ادامه داده شده است، بطور مثال آنها نمونه‌های آزمایشگاهی رسهای یخچالی آلوده با اتیلن‌گیلی کل را با بکارگیری روش طیف IP بررسی نمودند. آنها دریافتند که هم طیف مقاومت ویژه و هم طیف فاز (که تابعی از فرکانس هستند) نمونه‌های آلوده شده بگونه‌ای مشخص با نمونه‌های غیرآلوده فرق دارند. هنوز تجاری شدن این تکنیک نیاز به کار بیشتر دارد.

1- Ojilvy and Kuzmina

2- Olhoeft

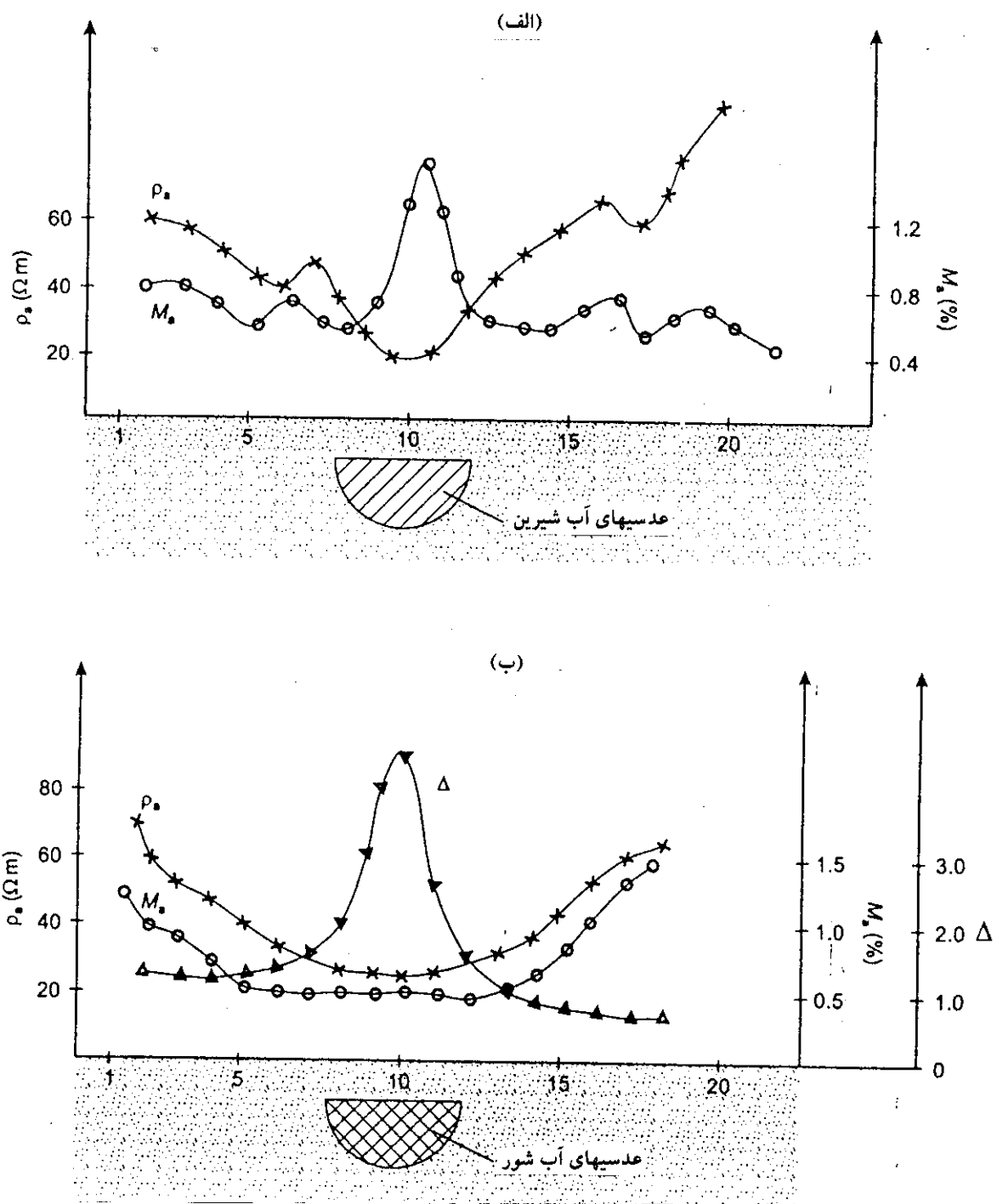
3- Soininen and Vanhala



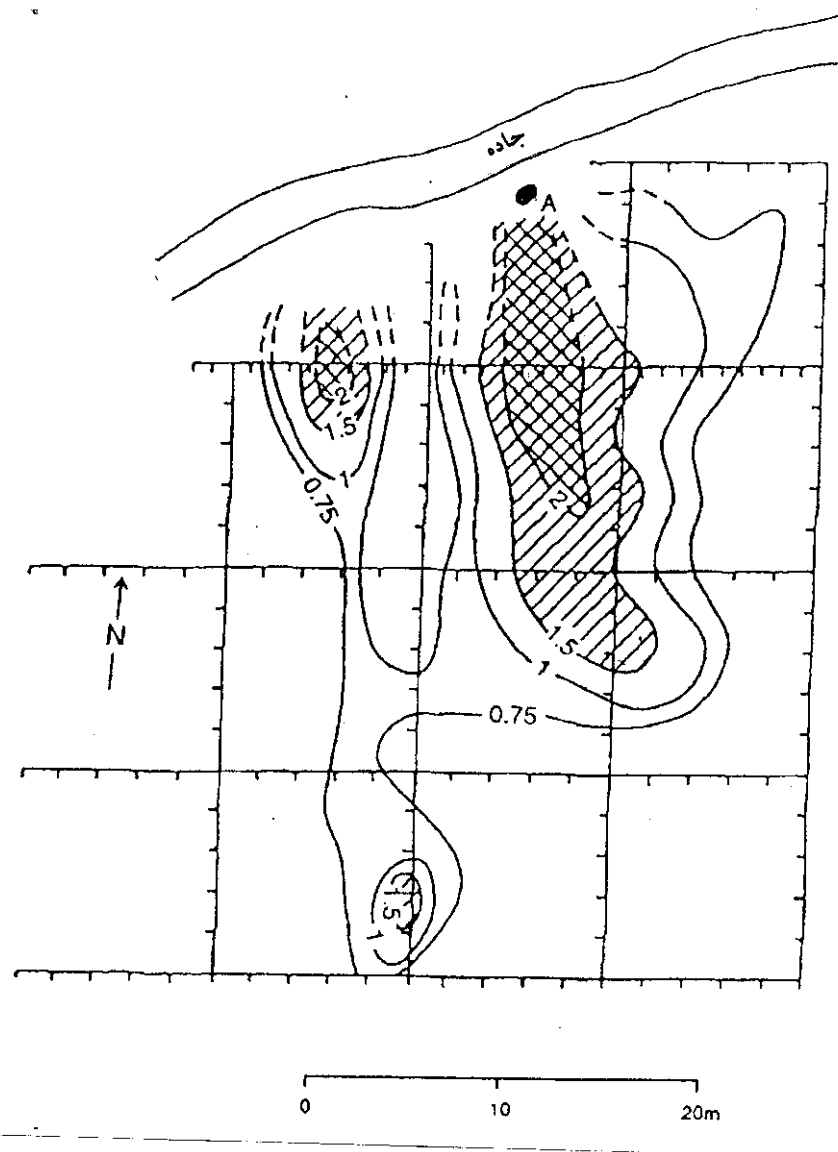
شکل ۳۳- نقشه‌های (الف) قطبش القایی و لتاژ اضافی پس از ده ثانیه (پربندها با فاصله  $\frac{mv}{v}$ )، و (ب) نسبت داده‌های IP پس از ۵ ثانیه و ده ثانیه بعد از قطع جریان بر روی یک دره دارای آبخوان مدفون نزدیک کاری زوزو در نیومکزیکوی ایالات متحده می‌باشد. چاه حفاری شده در ۱-L با تولید حدود ۴۵° لیتر آب مشروب در دقیقه، از وک‌کوایر و همکاران (۱۹۵۷)

کاهی‌نا و همکاران<sup>۱</sup> (۱۹۹۰) موردی ویژه را پیشنهاد می‌نمایند که در آن کاربرد صحرایی IP استاندارد همراه با اندازه‌گیریهای آزمایشگاهی مناسب وسیله‌ای شد برای به نقشه درآوردن ناحیه‌ای که شدیداً توسط مخلوطهای سیانور آلوده شده بود. منشاء این آلوده‌کننده‌ها تفاله مواد مربوط به کارهای گذشته در مورد جداسازی مواد فلزی است. آنها گمانه‌زنی الکتریکی متداول (با استفاده از آرایه شولومبرژ) و پروفیل‌زنی مقاومت ویژه متقارن همراه با روش IP را بطور توان (که توسط نگارندگان IP - SRP نامیده شده است) بکار گرفته‌اند. برداشت مقاومت ویژه در آشکارسازی آلودگی حتی با وجود آنکه مستقیماً در بالای نهشته تفاله‌ای انجام شد به نتیجه نرسید. در صورتی که برداشت IP برای اندازه‌گیری بارپذیری بکار برد شده است، نه تنها محدوده تفاله شناخته شده بلکه محدوده آلودگی را که قبلاً ناشناخته مانده بود نیز آشکار ساخته است. نقشه بارپذیری IP که در آن مراکز آلوده و نواحی تأثیر یافته در اطراف آنها بروشنی نشان داده شده است، در شکل ۳۵ آمده است.

1- Cahyna et al.



شکل ۳۴- مدل مقیاس دار تجربی نتایج مقاومت و بیژه ظاهری، بارپذیری و نسبت اضافه ولتاژ اندازه گیری شده پس از نیم ثانیه به اضافه ولتاژ در ۵ ثانیه بعد از قطع جریان ( $\Delta$ ). (الف) عدسی آب شیرین و (ب) عدسی آب شور.



شکل ۳۵- نقشه بارپذیری بر روی محلی آلوده شده با مخلوط سیانور، محل برونزد تفاله در A مشخص شده است.  
پربندها در صد بارپذیری هستند. نواحی هاشور زده بعنوان محدوده زمینهای آلوده تفسیر شده‌اند.

## منابع

- 1- REYNOLDS, J.M, 1997, An Introduction to Applied and Environmental Geophysics, John Wiley & Sons pub.
- 2- Bertin, J- "La Prospection Provoquée et Son rôle en Recherches Minières" Annales des Mines, Mars 1969.